國防部一一三年度「補助軍事院校教師(官)從事學術研究」

研究計畫名稱: 相控陣列天線教學展示系統 之設計與教學

委 託 單 位:國防部

研 究 單 位:陸軍軍官學校

研究計畫主持人: 陳宏圖

協同研究人:

中華民國 一一三年 十二 月 二十七 日

i

# 目次

摘	商要	1
第	5一章序論	2
	1.1 前言	. 2
	1.2 研究背景與目的	. 4
第	宫二章研究內容與成果	8
	2.1 微波震盪與功率放大電路	. 11
	2.2 功率分配網路	. 12
	2.3 相移器及其控制電路	. 16
	2.4 天線單元與陣列天線	. 26
	2.5 電源供應電路	. 31
	2.6 接收指示器	. 32
第	写三章結論	36
參	·考文獻	37
附	付錄一、樹莓派控制器之 Python 程式	39
附	対録一、接收指示器之 Arduino 程式	. 43

## <u>摘要</u>

雷達(RADAR)是現代電子科技和電腦應用技術快速發展的重要成就之一。雷達的英文原意是無線電偵測及定距(RAdio Detection And Ranging)。最初在1930年代初期開始發展時,僅是一個簡單的系統,用於偵測敵方飛機。研發至今,雷達已演變成一個整合雷達偵測器(radar sensor)與電腦(computer)的自動化系統。應用範圍也不再侷限於軍事用途。舉凡太空飛行物速度和軌道的量測、精密跟踪、導航、測繪攝影、空中交通管制、氣象預報、資源探勘等,均是現代雷達的應用領域。

申請人在112年度執行「相控陣列天線之設計與教學」研究計畫,過程中當 我們嘗試將各部組合成一個完整的「相控陣列天線」系統時,發現其波束偏轉 現象只能透過場型量測系統才能觀察到。也就是說雖然波束的偏轉功能是有了, 但如果每次在教學時都得在無反射室內講解,就很難讓學生產生具體的觀念, 教學成效將大打折扣。因此本年度的計畫,我們完成了一套「相控陣列天線教 學展示系統」,透過簡單的微波電路設計及微電腦控制系統,可以讓學生更直 覺地看到陣列主波束因為天線單元間相位差而偏轉,更能實地瞭解「相控陣列 天線」在相控雷達系統中角色與其應用。

# 第一章

# 序論

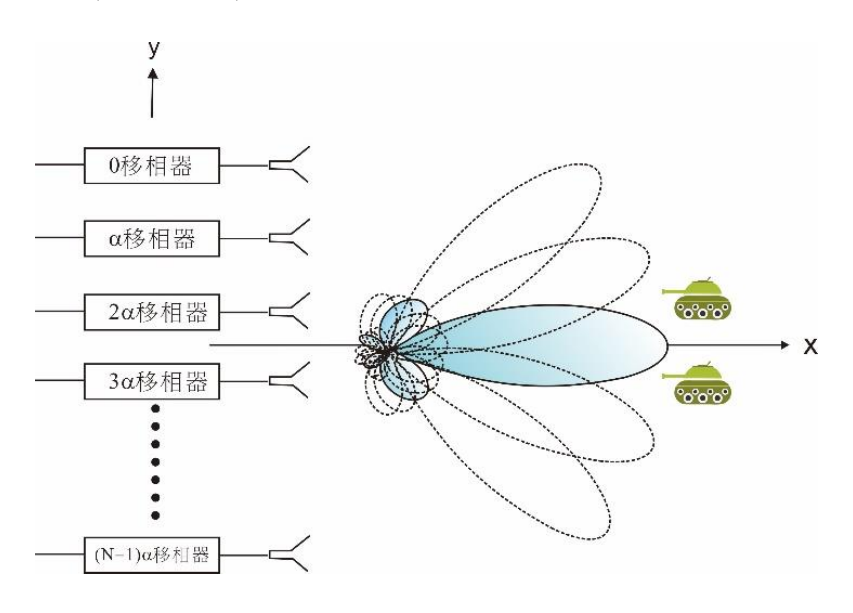
#### 1.1 前言

連續波雷達乃透過持續發射電磁波,由雷達回波的有無來判斷偵測範圍內 是否有目標物。連續波雷達所發射的電磁波,其頻率可以是固定或調變兩種方 式。當發射頻率固定時,接收並分析反射波的頻率差,可以算出目標與雷達的 相對速度。若發射的雷達波屬頻率調變的方式,分析雷達波與回波的頻率偏移 (Frequency Shift),即可算出目標物與雷達間的距離[1-5]。

陸軍軍官學校電機系依據國軍資通發展趨勢,規劃「電波通訊」、「計算機控制」、及「光電與電子」為本系發展重點。就「電波通訊」領域而言,申請人曾獲國防部補助,於107年執行「ISM頻段雷達之設計與教學」、109年執行「6GHz頻段合成孔徑雷達之設計與教學」、110年執行「滑軌式合成孔徑雷達成像系統之設計與教學」、111年度執行「切換天線式陣列雷達成像系統之設計與教學」、及112年度執行「相控陣列天線之設計與教學」等五項研究計畫。透過此五項計畫之執行,成功地將教學內容往「雷達工程」、「合成孔徑雷達」乃至「相控陣列天線」領域推進。過程中我們一直精進雷達設計,從手工移動式掃描、機械化自動掃描、乃至111年度以4×4切換天線式陣列來達到電子式掃描的功能。而112年度則更進一步以「相控陣列天線」為教學研究主體,以精進本校電機系「電波專題」課程,期使學生嫻熟雷達系統原理。各年度的計畫成果都已經上繳,在此不多贅述。

事實上,雷達成像品質的好壞,取決於雷達的「距離解析度(range resolution)」及「方位解析度(azimuth resolution)」。「距離解析度」是指在相同的角度下,雷達能分辨出不同距離目標物的能力;而「方位解析度」是指在相同距離下,雷達能分辨出不同角度目標物的能力[1-6]。在前幾年執行有關「合成孔徑雷達」計畫時,無論是人工定點掃描、或是機械載台掃瞄、乃至切換陣列式的掃描,

其原理都是讓雷達天線的主波東在偵測空間中做掃描。相較於比較緩慢、耗時、 且不精準的機械式掃描,電子式掃描才是目前雷達系統的主流技術。而以目前 的技術而言,如圖一所示的「相控陣列雷達 (Phased-Array Radar)」是目前電子 式掃描技術中,最尖端也最具代表性的技術。

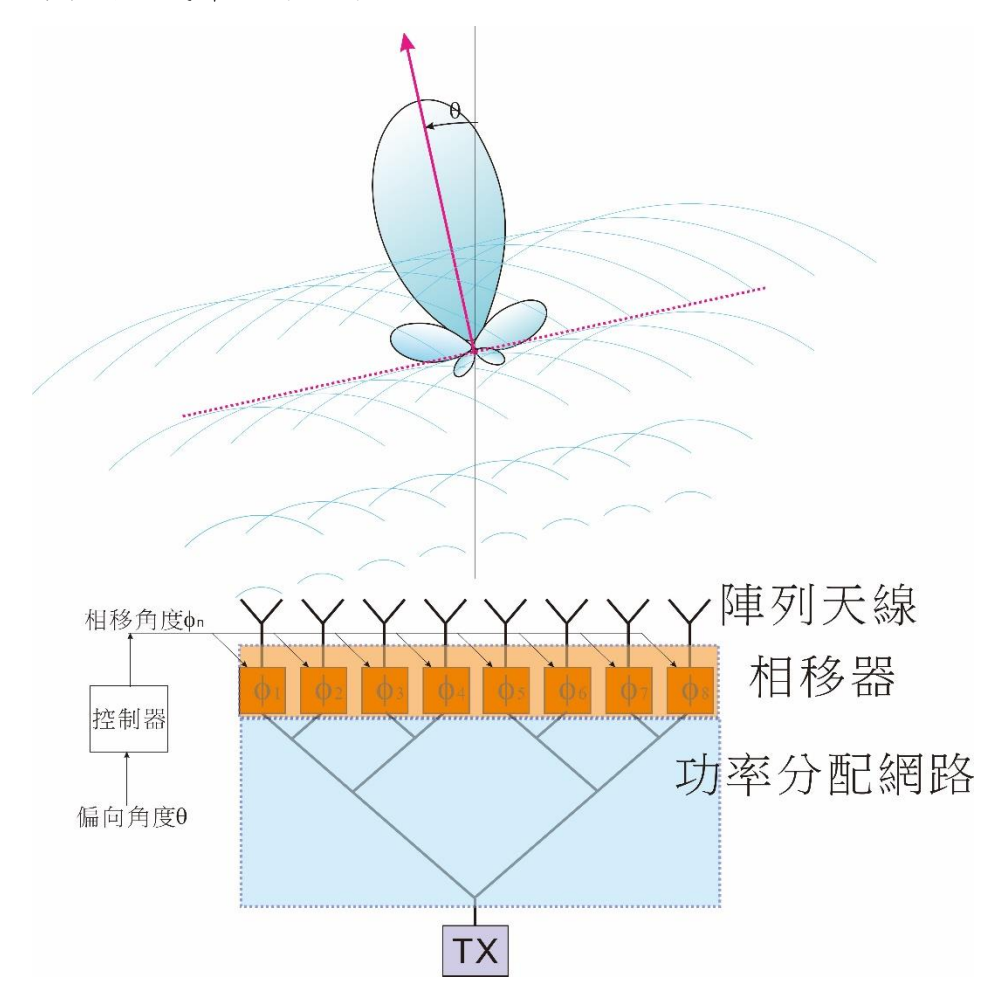


圖一、「相控陣列雷達」是最具代表性的電子式掃描技術

「相控陣列雷達」就是以「相控陣列天線 (Phased-Array Antennas)」進行電子式掃描的雷達系統。而「相控陣列天線」則是利用大量且可個別控制的天線單元排列而成的陣列天線。透過控制並調整各天線單元間之相位差,來達到使主波束轉向的目的[7-13]。「相控陣列天線」不但是「相控陣列雷達」的關鍵技術,更可應用在新一代的行動通訊系統中。例如第五代行動通訊所使用的巨量多入多出(Massive MIMO)的通訊技術,就是利用「相控陣列天線」以達到快速定位用戶並提供多個數據流,進而提升吞吐量的目的。

# 1.2 研究背景與目的

圖二所示為「相控陣列天線」的構成方塊圖:輻射單元排成陣列形式,以 微控制器(micro-controller)控制相移器(phase shifter)改變饋入到個別天線單元 的相位,由各單元輻射的電磁波會在特定方向產生建設性干涉,進而實現主波 束在空間中定向或掃描的目的。



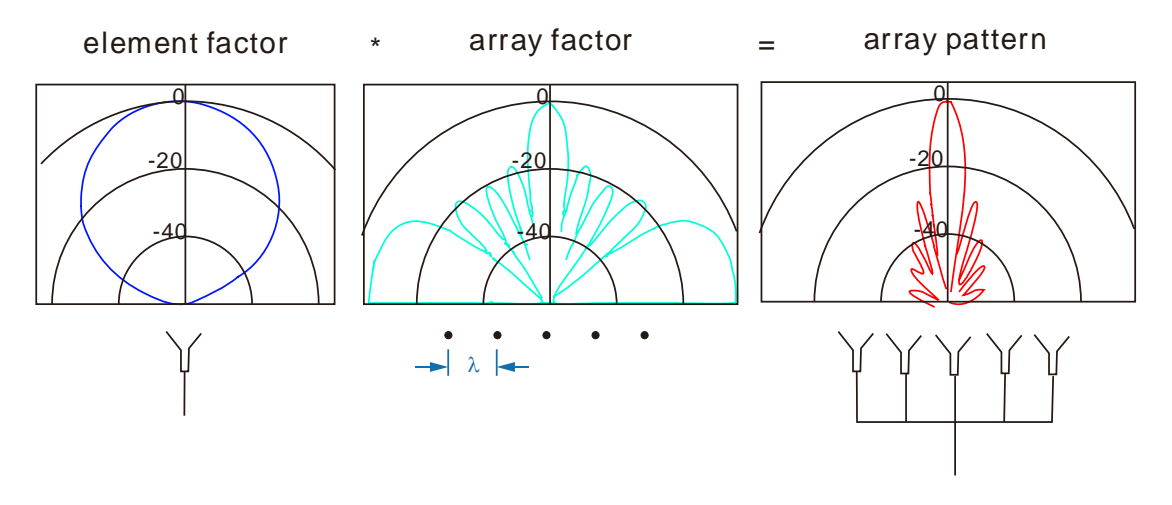
圖二、改變饋入到個別天線單元的相位以使主波束偏移

天線陣列最大的功能就是將發射/接收的能量集中於特定的方向,縮小主波東寬以提高增益。以一維的線性陣列為例,若將各元件的E-plane對齊在一個平面上,稱為E-plane linear array,則將縮小E-plane的主波東寬;同樣的,若將各元件的H-plane對齊在一個平面上,稱為H-plane linear array,則將縮小H-plane的主波東寬。一般來說,天線陣列元件數增加一倍,增益最多可以提高3dB。

分析天線陣列,最重要的是「場形相乘原理(principle of pattern multiplication)」。 假設天線陣列是由相同類型的天線所組成並且面向相同方向,則天線陣列的輻射場型可以由「元件因子(element factor)」及「陣列因子(array factor)」相乘而得(參見圖三):

$$F(\theta, \phi) = F_e(\theta, \phi) * F_a(\theta, \phi) \tag{1}$$

其中,元件因子 $F_e(\theta,\phi)$ 為單一天線元件的場型函數;陣列因子 $F_a(\theta,\phi)$ 則是以等向性(isotropic)輻射體排列成相同陣形時的場型函數。



圖三、場形相乘原理

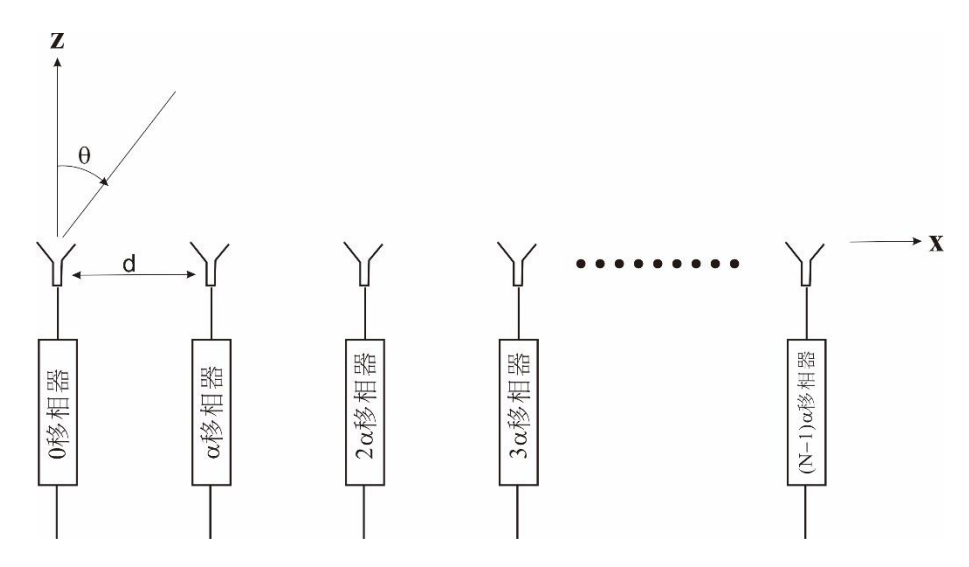
雖然在實際應用上,主流的做法是以二維的相控陣列讓主波束轉向,達到電子式掃描的目的。但考量以大學專題程度,本計畫僅以一維的「均勻、等距之線形相控陣列天線」為教學研究主題,使學生透過簡單的微波電路設計及微電腦控制系統,來實現一維的「相控陣列天線」。如圖四所示為N個天線單元、元件間距為d之均勻等距的線形相控陣列,其規一化陣列因子(normalized array factor)為

$$|A(\theta)| = \frac{1}{N} \left| \frac{\sin\left[\frac{N}{2}(\beta d \sin \theta + \alpha)\right]}{\sin\left[\frac{1}{2}(\beta d \sin \theta + \alpha)\right]} \right| \tag{1}$$

其中, $\beta=2\pi/\lambda$ 為波數,N 為元件個數, $\alpha$ 為元件間相位差。陣列最大增益的方向 $\theta_0$ ,必須滿足

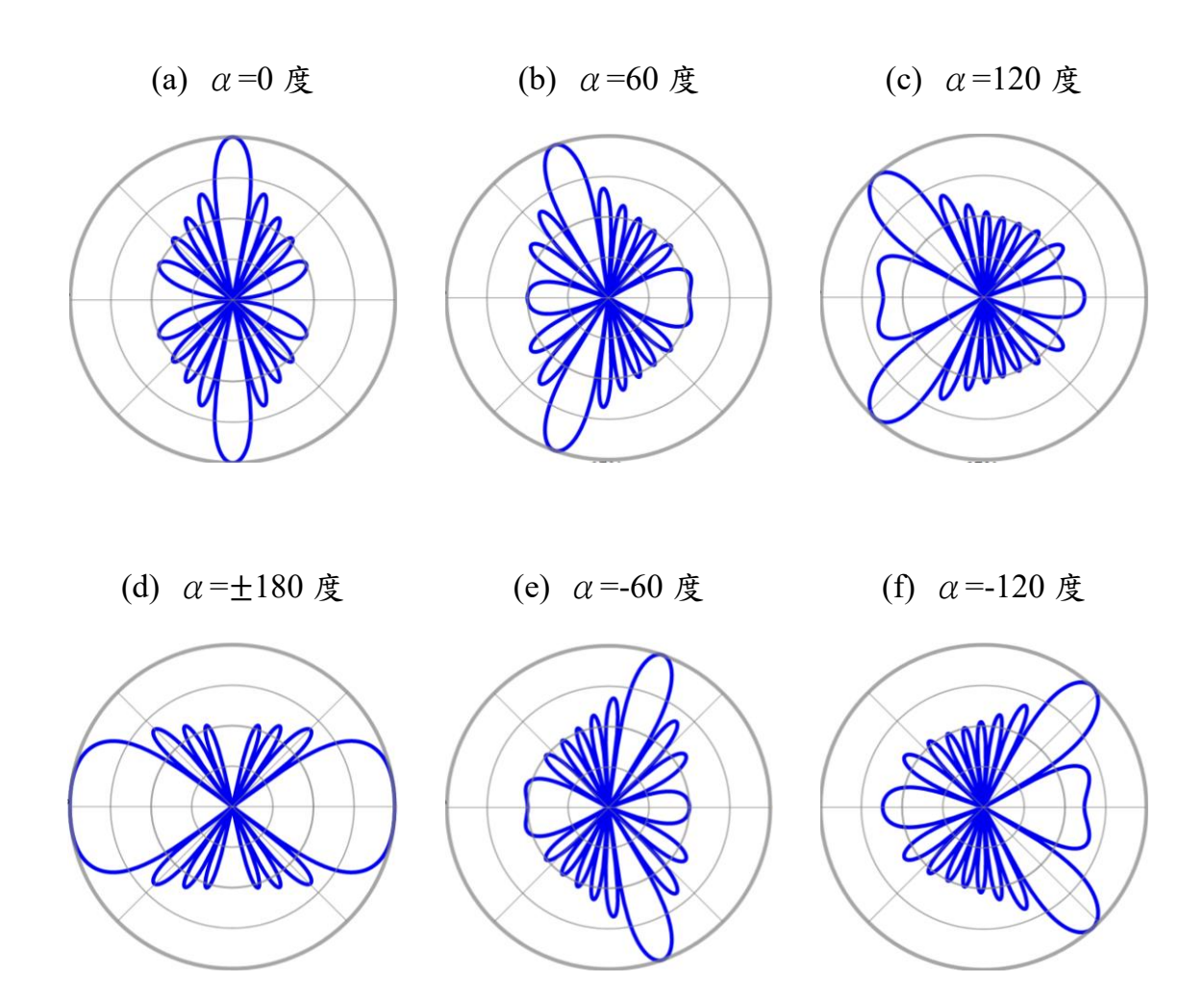
$$\beta d\sin\theta_0 + \alpha = 0 \tag{2}$$

的條件。因此調整相鄰兩元件間的激發相位差 $(\alpha)$ ,可以改變陣列最大增益的方向。



圖四、N 個天線單元之均勻等距線形相控陣列

如圖五所示,以元件數 10 個、間距半波長的線形陣列為例:當每個元件以相同功率及相位激發時( $\alpha$ =0 度),陣列在正面( $\theta$ =0 度)方向有最大增益;當相位差  $\alpha$ =60 度時,陣列最大輻射方向約在  $\theta$ =-20 度;當相位差  $\alpha$ =120 度時,陣列最大輻射方向約在  $\theta$ =-40。反之,當相位差  $\alpha$ =-60 度時,陣列最大輻射方向約在  $\theta$ =-120 度時,陣列最大輻射方向約在  $\theta$ =-120 度時,陣列最大輻射方向約在  $\theta$ =-120 度時,陣列最大輻射方向約在  $\theta$ =-100 度時,萬端射式陣列,其最大輻射方向在  $\theta$ =90 度。

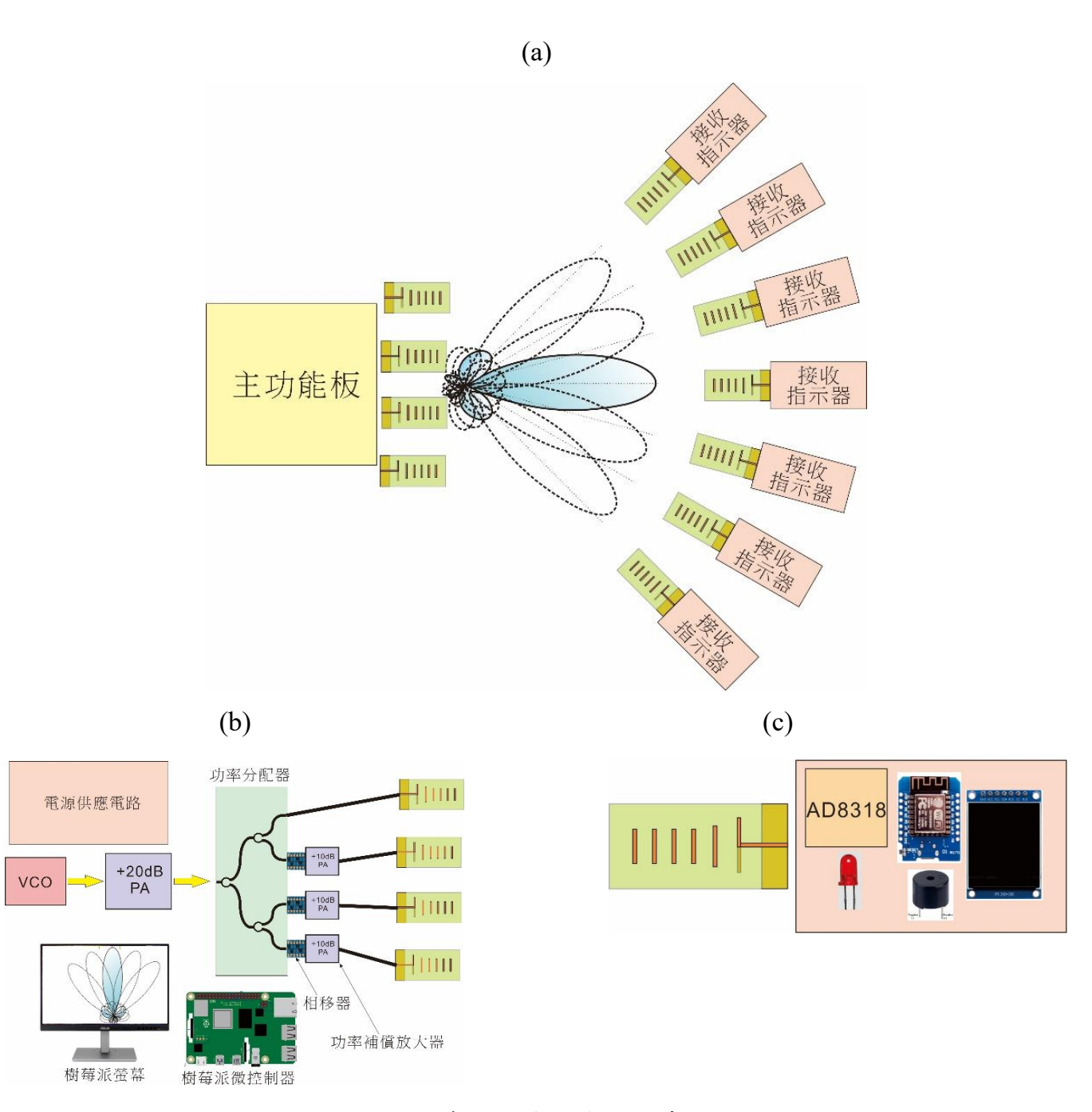


圖五、元件數為10、間距半波長的線形陣列,不同相位差時之陣列因子場型

# 第二章研究內容與成果

「專題製作」課程是本校(陸軍軍官學校)電機系高年級學生的必修課程,每週上課時數三小時,兩學期合計108小時。本課程區依據主題分組,「電波專題」為其中一個主題,本學年度修課學生人數共12員。透過本計畫之執行,教導學生熟悉天線工程、微波工程、雷達工程等科目及相關量測技術。此外,以「相控陣列天線」實現主波束在空間中定向或掃描的功能,也是教學重點之一。

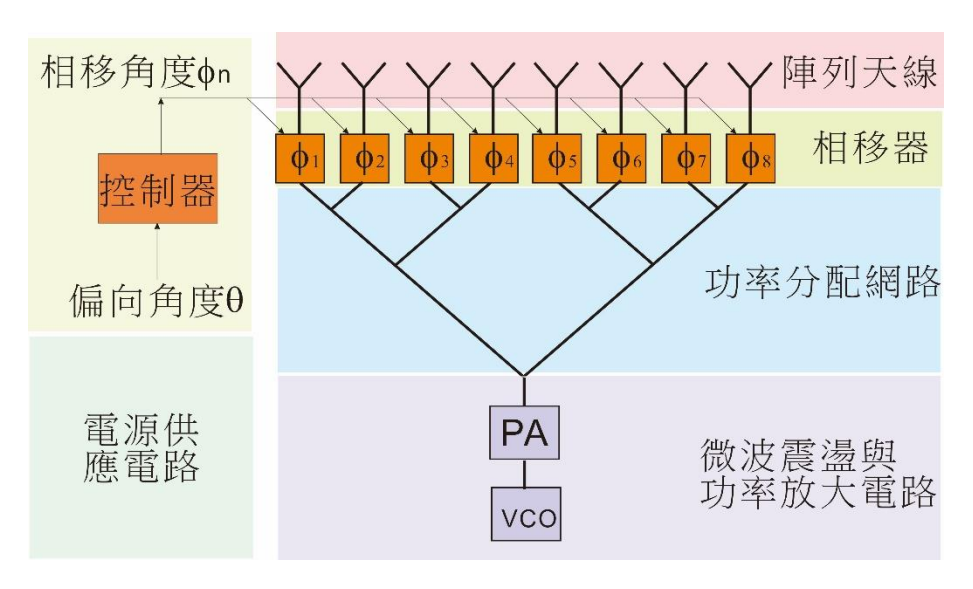
本年度的研究計畫中,我們設計並完成一套「相控陣列天線教學展示系統」的離型。展示系統整體結構圖如圖六(a)所示,主要由圖六(b)的主功能板及圖六(c)的接收指示器所構成。如圖六(a)所示,在與主功能板固定距離的扇形位置上擺放數個接收指示器,當主功能板上的「相控陣列天線」主波束偏轉時,相對應角度上的接收指示器會接收到足夠強的功率,進而驅動包括:點亮LED燈、蜂鳴器發出"嗶"聲、並在OLED螢幕上顯示接收到的訊號強度等動作。如此即可立即得知目前主波束所偏轉的角度,可以給學生對「相控陣列天線」建立具體的觀念,有效提昇教學成效。



圖六、相控陣列天線教學展示系統

- (a) 系統整體結構圖;
- (b) 主功能板各部示意圖;
- (c) 接收指示器各部示意圖·

為了能系統化地進行「相控陣列天線教學展示系統」的教學工作,如圖七所示,我們將主功能板的系統區分為:(一)微波震盪與功率放大電路、(二)功率分配網路、(三)相移器及其控制電路、(四)天線單元與陣列天線、(五)電源供應電路;而接收指示器則在第(六)小節中說明。

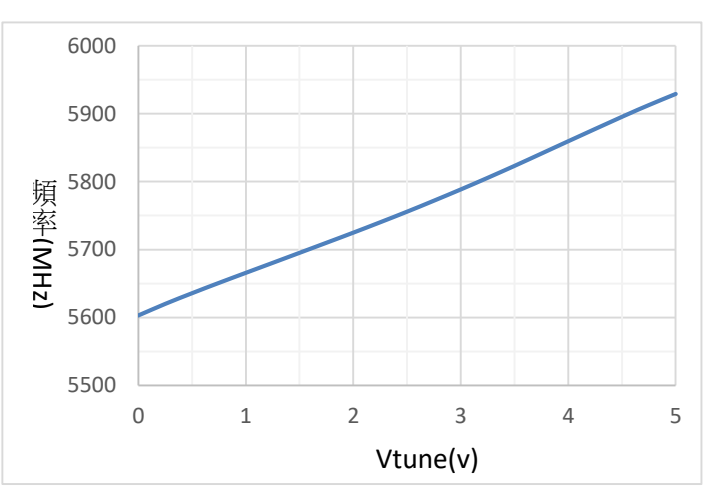


圖七、將「主功能板」分為五部份進行製作

#### 2.1微波震盪與功率放大電路

如圖七紫色區塊部份所示,為微波震盪與功率放大電路。本計畫中的訊號源由壓控震盪器震盪出微波功率,並經低雜訊功率放大器將功率提升。計畫中採用的壓控震盪器為Mini-Circuits ZX95-5776,其外觀及特性曲線如圖九所示。當Vtune電壓5V時,可獲得5.9 GHz、功率約-2 dBm的微波訊號。低雜訊功率放大器採用的型號為Mini-Circuits ZX60-V63,該放大器操作在6 GHz時,增益約為15 dB。因此壓控震盪器的輸出經由低雜訊功率放大器之後,可將功率提升至13 dBm。

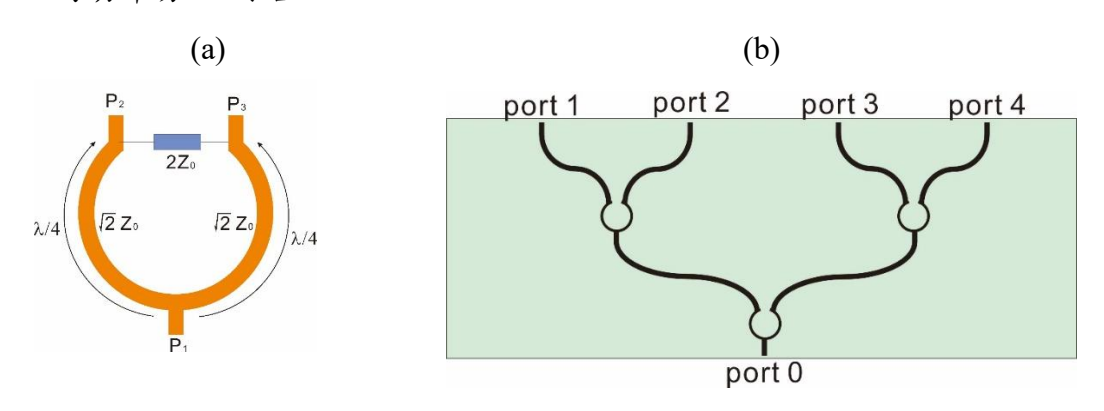




圖八、Mini-Circuits ZX95-5776 外觀及特性曲線

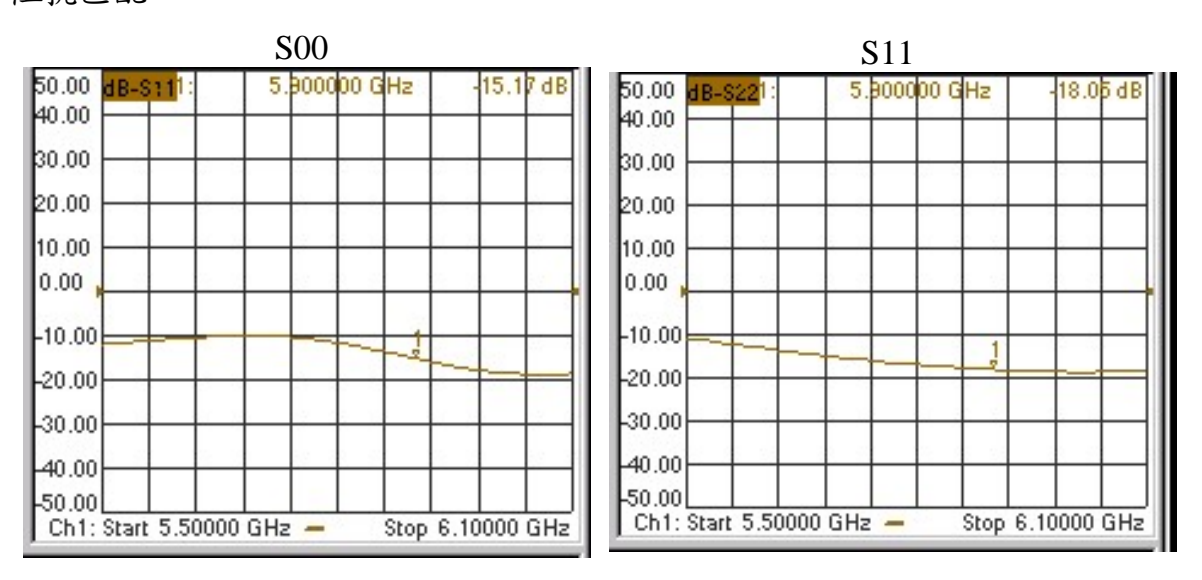
#### 2.2 功率分配網路

如圖七藍色區塊部份所示,為功率分配網路。功率分配器(power divider)的功能為將輸入功率分為功率相當的兩部份。功率分配器屬被動式元件,在製作上比較簡單,本計畫採用如圖九(a)所示之威爾金森功率分配器(Wilkinson power divider)。威爾金森功率分配器為威爾金森(Ernest J. Wilkinson)於 1960年提出設計[14],其結構簡單且輸出埠間彼此互相隔離、又同時各埠皆阻抗匹配的一種功率分配網路。本計畫採用堆疊式設計,以獲得如圖九(b)所示之一分四的功率分配網路。

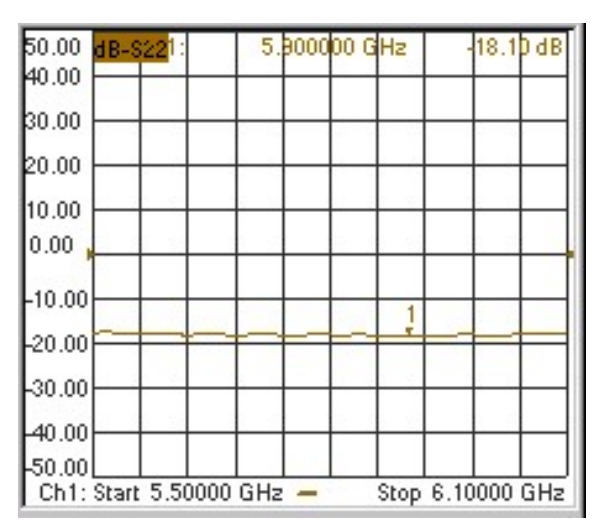


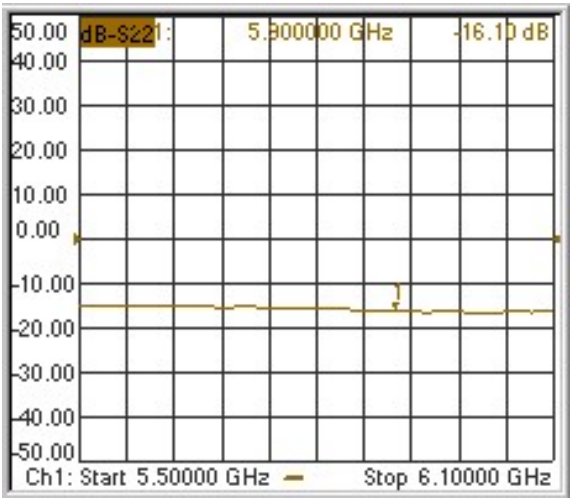
圖九、威金森功率分配器

圖十所示為一分四威爾金森功率分配器各埠匹配的量測結果。Sxx代表 port x 的阻抗匹配程度,當測量某一埠的匹配時,其他埠則連接 50 歐姆終端電阻。由結果可以看出,操作在 5.9 GHz 時,各埠的 Sxx 都在-15dB 以下,有良好的阻抗匹配。



S22 S33





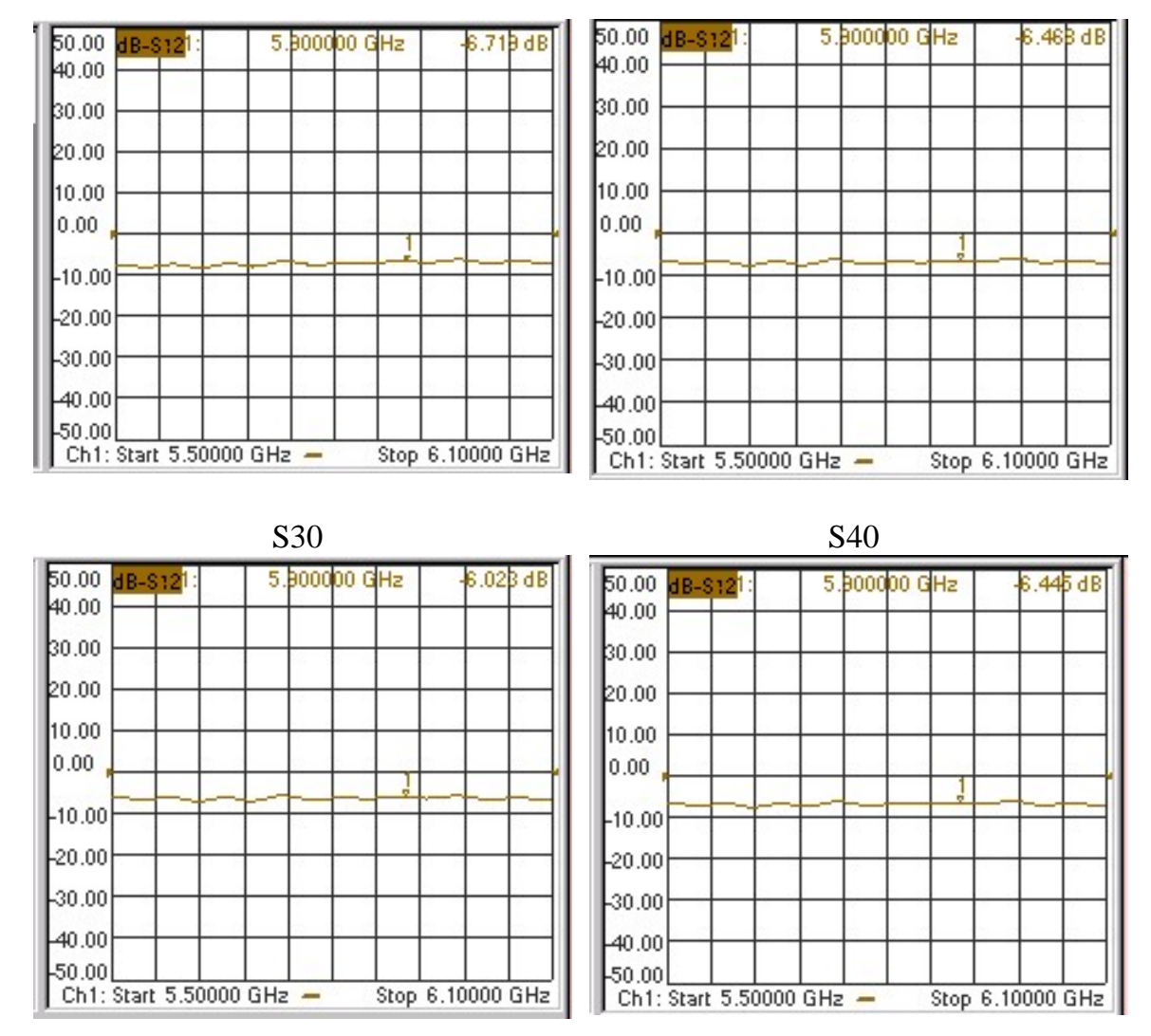
S44



圖十、一分四威爾金森功率分配器各埠阻抗匹配的量測結果。

圖十一所示為一分四威爾金森功率分配器各埠分配功率的量測結果。Sx0代表從 port 0 傳遞到 port x 過程的饋入損失(insertion loss)。當測量 port 0 與某一埠的饋入損失時,其他埠則連接 50 歐姆終端電阻。由結果可以看出,從 port 0 傳遞到各埠的饋入損失 Sx0 都在-6dB 左右,也就是說此一威爾金森功率分配器有良好的「一分為四」的效果。

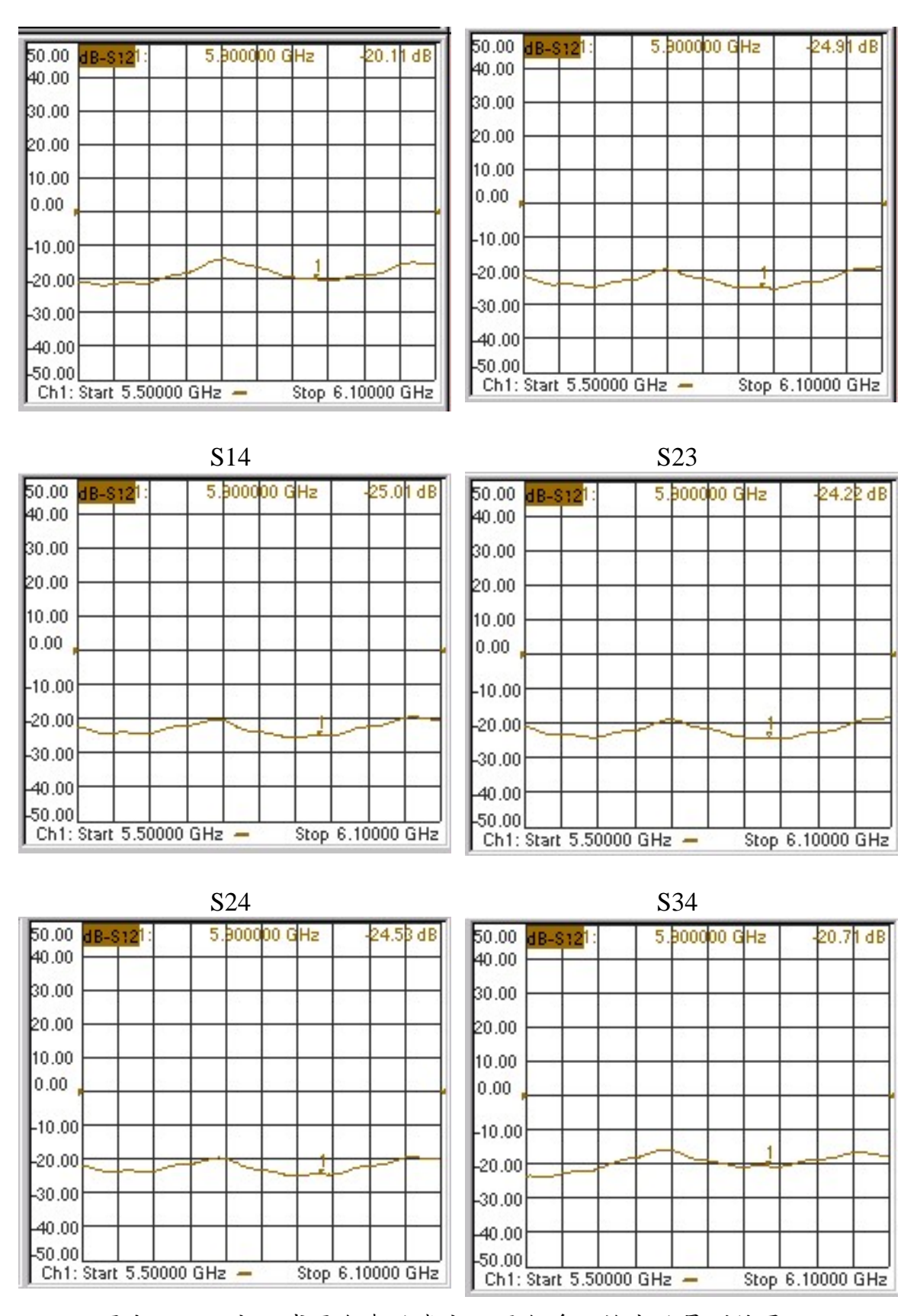
S10 S20



圖十一、一分四威爾金森功率分配器各埠分配功率的量測結果。

圖十二所示為一分四威爾金森功率分配器 port 1、port 2、port 3、port 4 各 埠隔離度的量測結果。|Sxy|代表 port x 與 port y 的隔離度。當測量 port x 與 port y 之隔離度時,port 0 與其他埠則連接 50 歐姆終端電阻。相鄰兩埠的隔離度 S12、S23、S34,其隔離度都在 20 dB 以上。其他非相鄰兩埠的隔離度 S13、S24、S14,其隔離度都在 24 dB 以上。由結果看出各埠之間隔離效果良好。

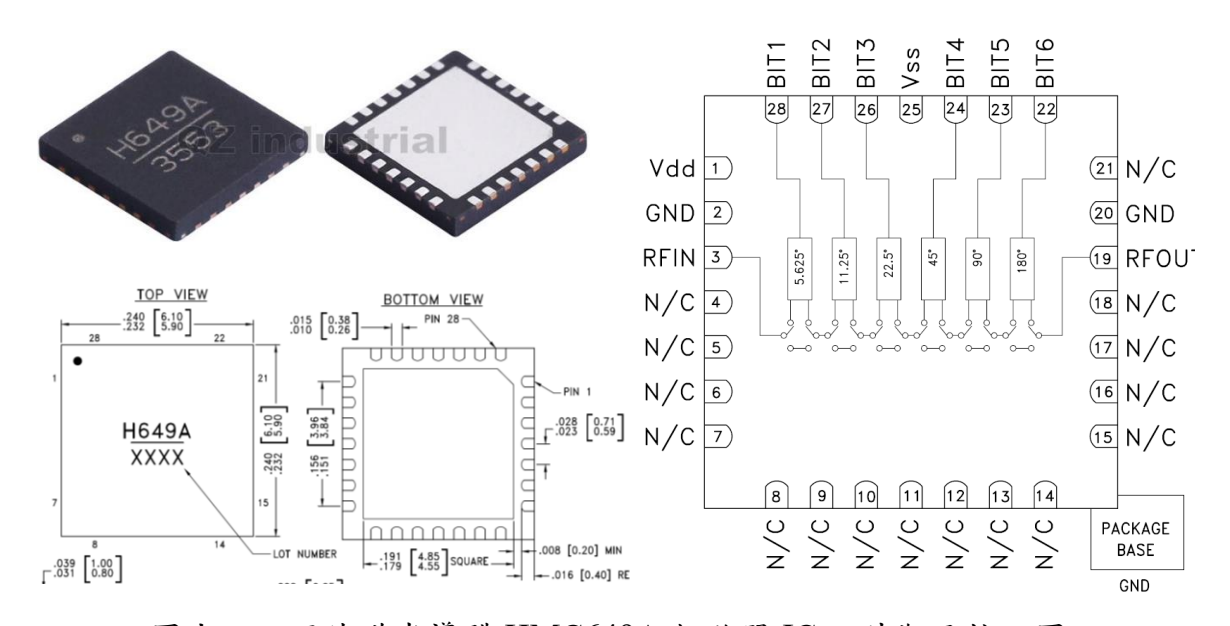
S12 S13



圖十二、一分四威爾金森功率分配器各埠隔離度的量測結果。

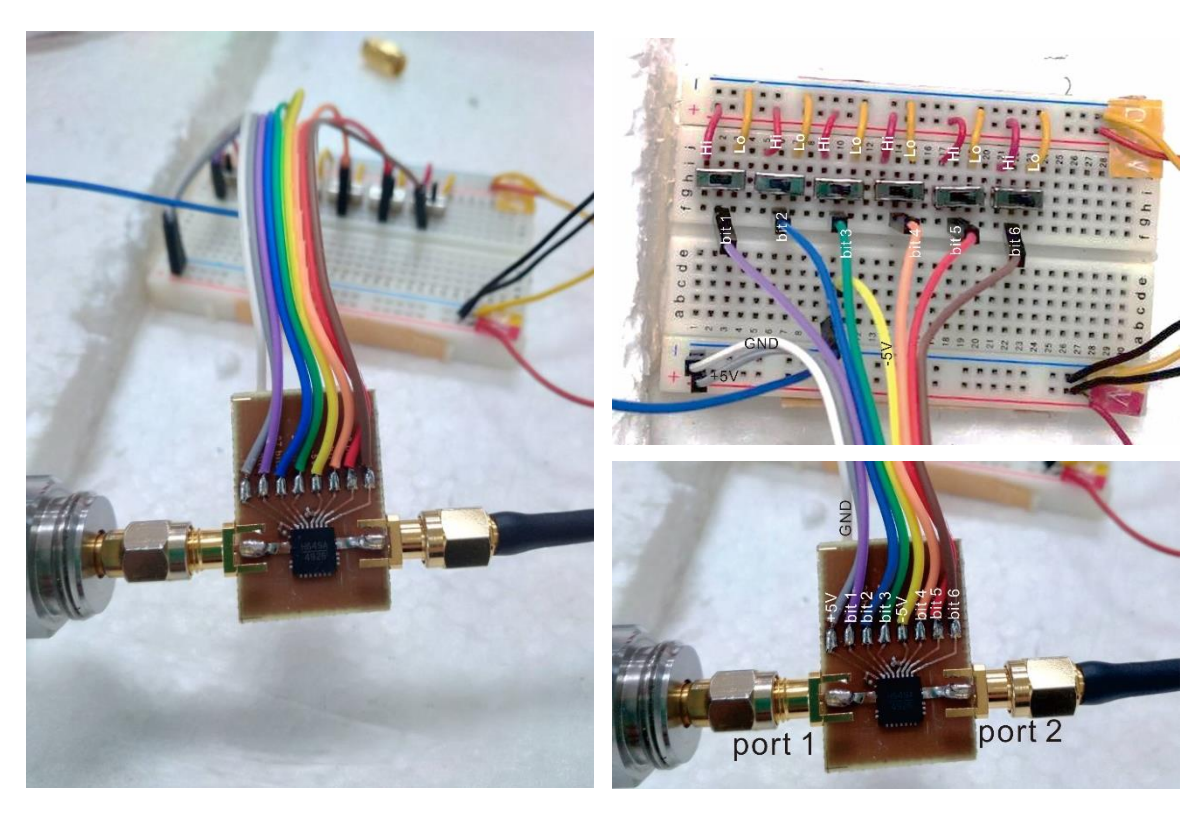
#### 2.3 相移器及其控制電路

如圖七所示黃底色方框部分為相移器及其控制器電路,為簡化教學及製做流程,計畫中以市售現有的 IC 及微控制器單元,進行區塊模組化的講解及實驗。計畫中採用亞德諾半導體公司(Analog Devices Inc.)所設計生產之HMC649A 相移器 IC,其外觀與接腳如圖十三所示。HMC649A 相移器 IC 共有6個控制腳位,也就是將360度相角量化成64等分,每一等分間隔5.625度。對於大學專題層級的實驗來說,此一切割精度已然足夠。



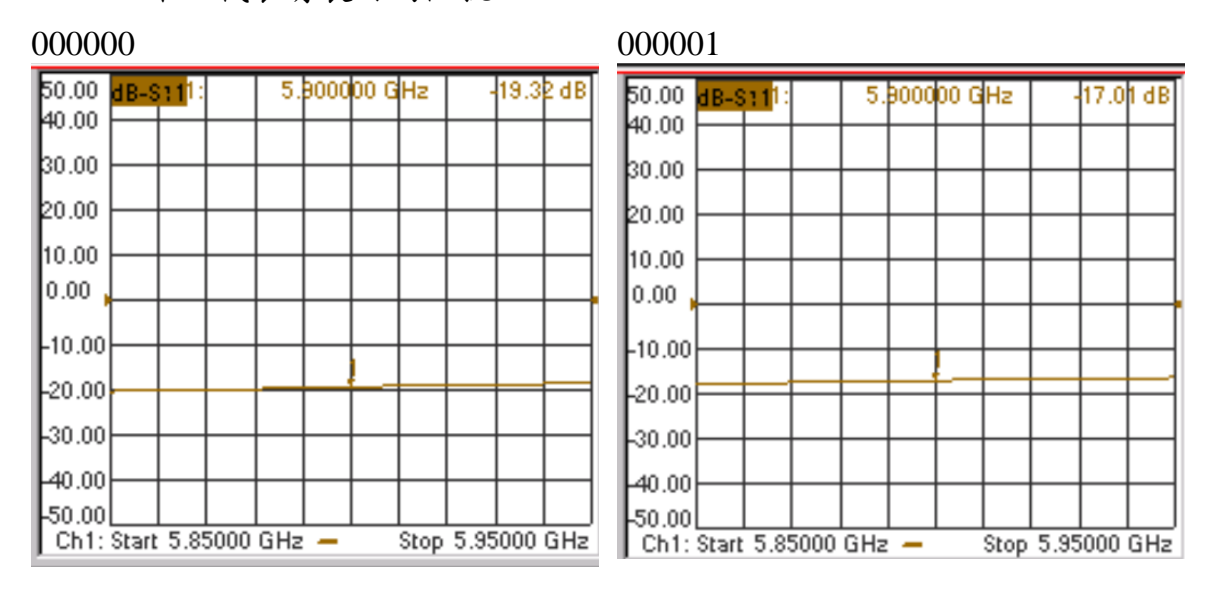
圖十三、亞德諾半導體 HMC649A 相移器 IC 之外觀及接腳圖

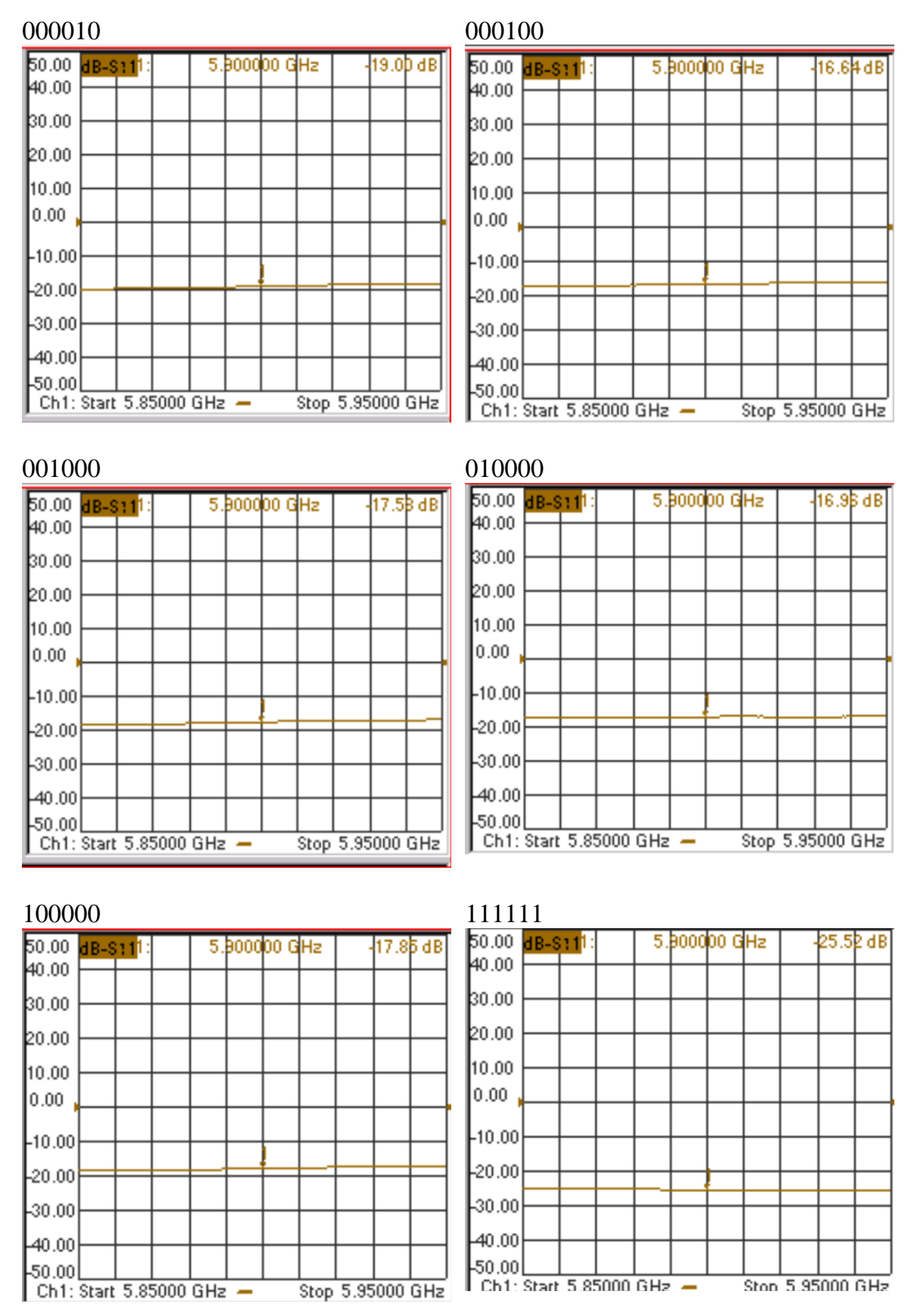
圖十四所示為測量HMC649A相移器IC時的接線配置圖。HMC649A相移器IC為QFN28封裝,其接點間距僅0.65mm,因此必須先蝕刻線寬極細的印刷電路板將IC焊接上去,並接上SMA接頭之後方能使用。如圖十四所示,以六個開關在5V及0V之間切換,以分別代表Bit 1~Bit 6的HIGH或LOW。將準備妥當的測試板連接網路分析儀,以網路分析儀測試包括:PORT 1的匹配(S11)、PORT 2的匹配(S22)、PORT 1到PORT 2的饋入損耗(S21)、以及PORT 1到PORT 2的相位延遲(phase of S21)等。



圖十四、測量 HMC649A 相移器 IC 時的接線配置圖。

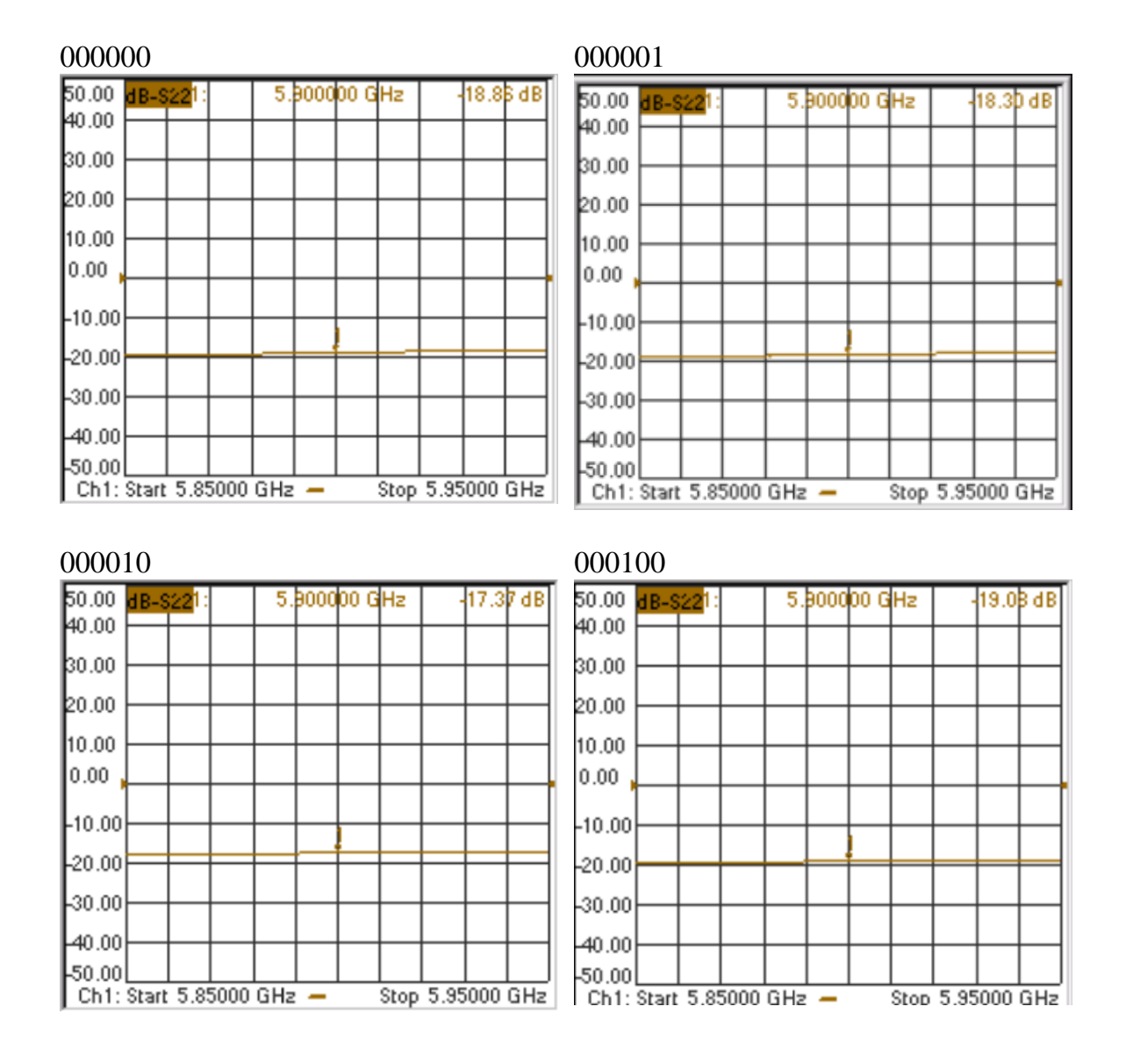
圖十五所示為 PORT 1 匹配程度(S11)的量測結果。圖中展示了八種相位切換時的組合,以確保相移器電路在相位切換時,依舊能保持匹配狀態。切換開關的組合,以 0 代表 LOW,以 1 代表 HIGH,並以(Bit 6, Bit 5, Bit 4, Bit 3, Bit 2, Bit 1)的順序數列來代表。由結果可以看出,操作在 5.9 GHz 時,S11 都能保持在-15dB 以下,代表有良好的阻抗匹配。

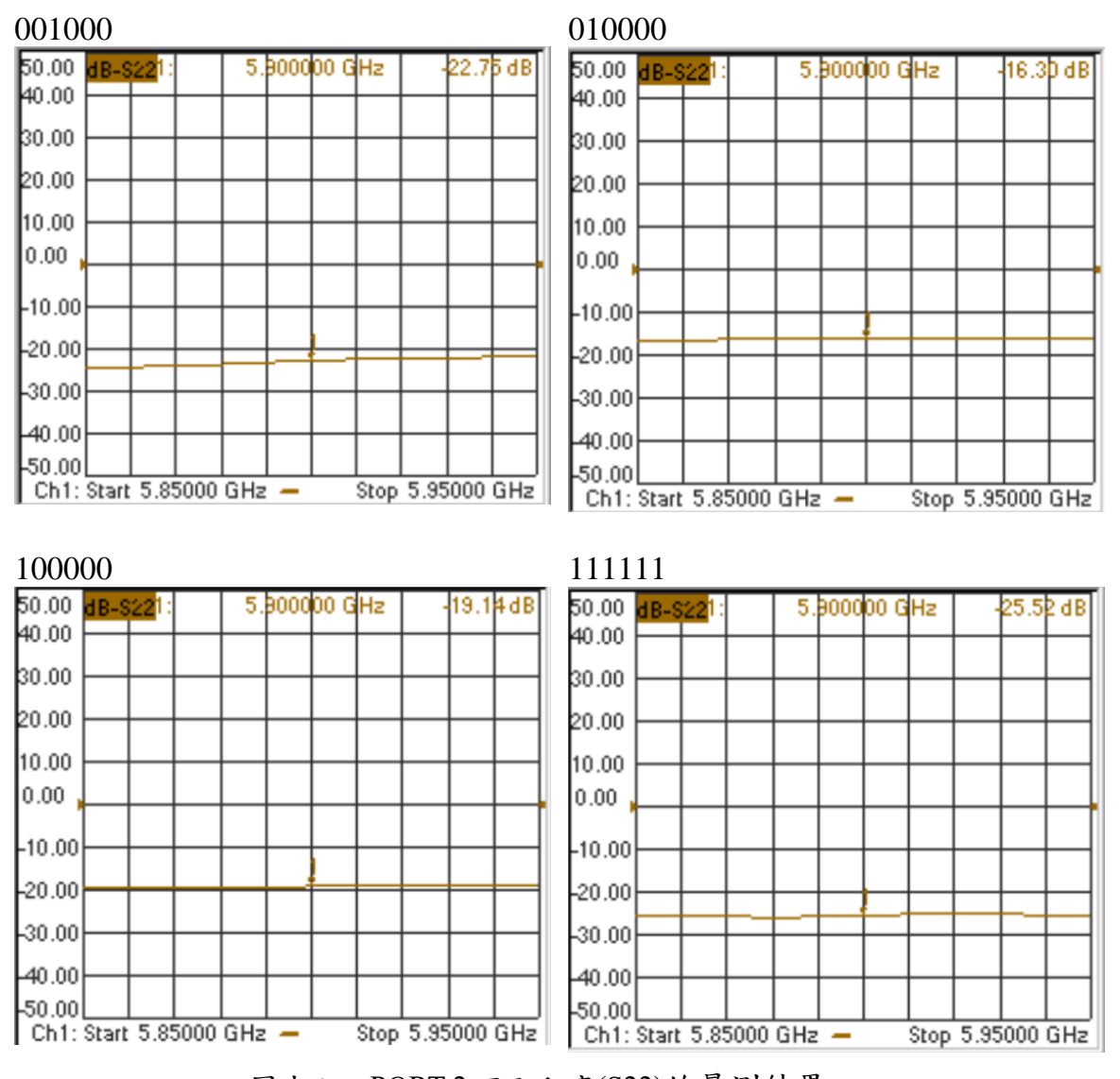




圖十五、PORT 1 匹配程度(S11)的量測結果。

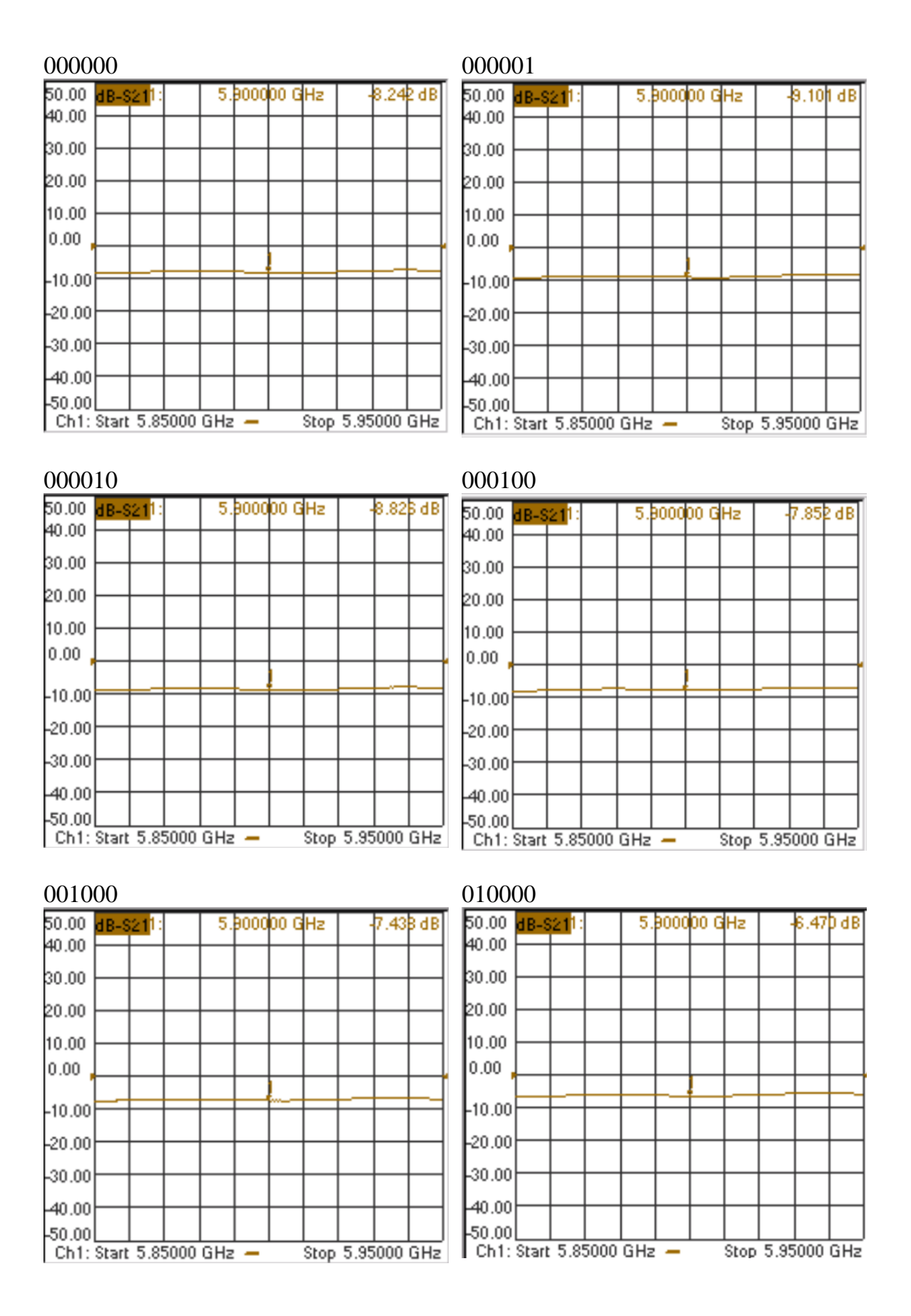
圖十六所示為 PORT 2 匹配程度(S22)的量測結果。圖中展示了八種相位切換時的組合,以確保相移器電路在相位切換時,依舊能保持匹配狀態。切換開關的組合,以 0 代表 LOW,以 1 代表 HIGH,並以(Bit 6, Bit 5, Bit 4, Bit 3, Bit 2, Bit 1)的順序數列來代表。由結果可以看出,操作在 5.9 GHz 時,S22 都能保持在-15dB 以下,代表有良好的阻抗匹配。

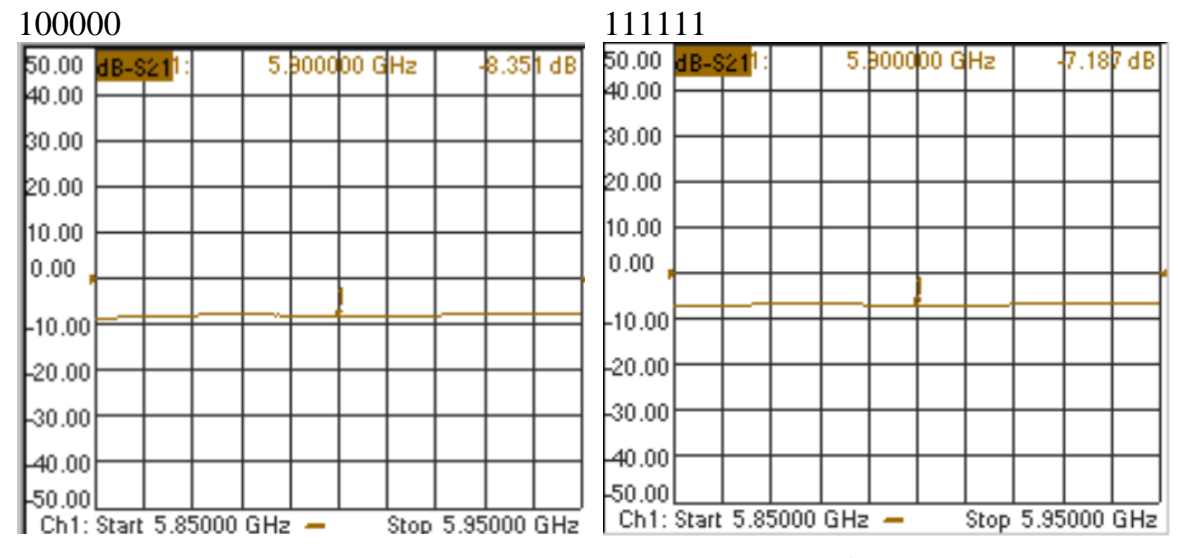




圖十六、PORT 2 匹配程度(S22)的量測結果。

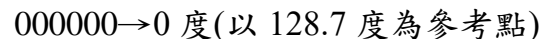
圖十七所示為 PORT 1 到 PORT 2 的饋入損耗(S21)之量測結果。圖中展示了八種相位切換時的組合,以了解相移器電路在相位切換時,饋入損耗的狀況。切換開關的組合,以 0 代表 LOW,以 1 代表 HIGH,並以(Bit 6, Bit 5, Bit 4, Bit 3, Bit 2, Bit 1)的順序數列來代表。由結果可以看出,操作在 5.9 GHz 時,PORT 1 到 PORT 2 的饋入損耗(S21)在-6.5dB~-9.1dB 之間變動。也就是說如果我們的目標是均勻線型陣列,則必須在相移器之後再串接一將近 10dB 的微波放大器,以維持個天線元件之間有強度相近的饋入。



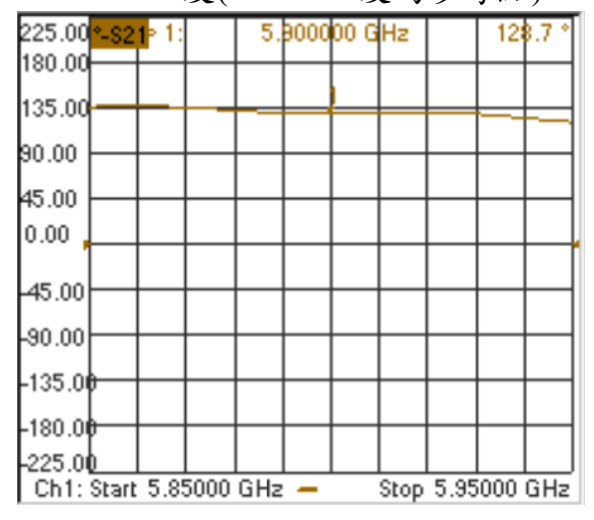


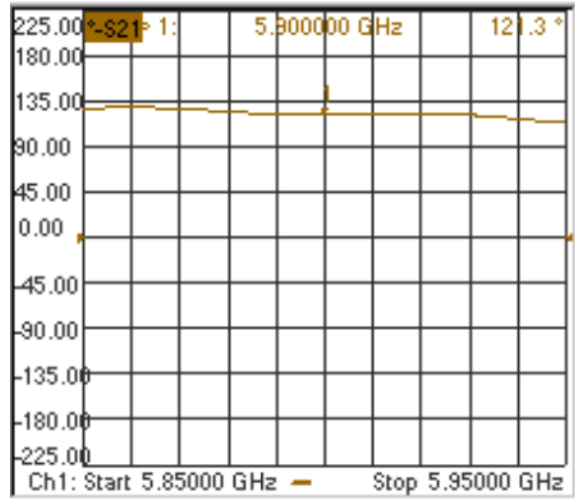
圖十七、PORT 1 到 PORT 2 的饋入損耗(S21)之量測結果。

圖十八所示為 PORT 1 到 PORT 2 的相位延遲(phase of S21)之量測結果。圖中展示了八種相位切換時的組合,以了解相移器電路在相位切換時,饋入損耗的狀況。切換開關的組合,以 0 代表 LOW,以 1 代表 HIGH,並以(Bit 6, Bit 5, Bit 4, Bit 3, Bit 2, Bit 1)的順序數列來代表。亦即透過這 6 個控制腳位,將 360 度相角量化成 64 等分,每一等分間隔 5.625 度。例如若(Bit 6, Bit 5, Bit 4, Bit 3, Bit 2, Bit 1)的數列組合為 000100,則其理論上的相位延遲應為 4\*5.625=22.5 度。圖中亦將理論值列出作為比較。由結果可以看出,操作在 5.9 GHz 時,PORT 1 到 PORT 2 的相位延遲,量測值與理論值差異不大,都在可接受的誤差範圍內。



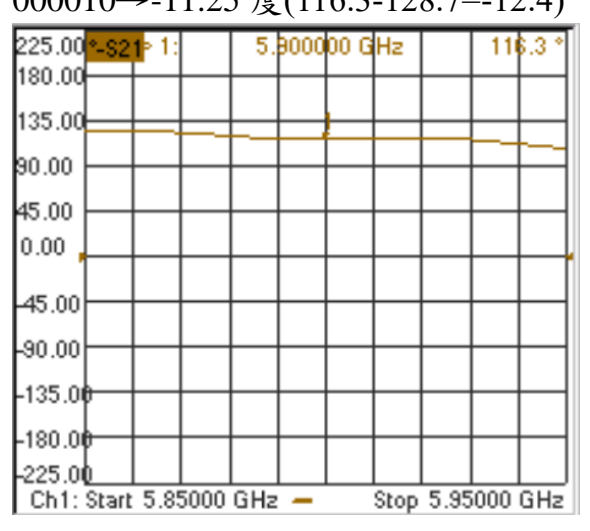
000001→-5.625 度(121.3-128.7=-7.4)

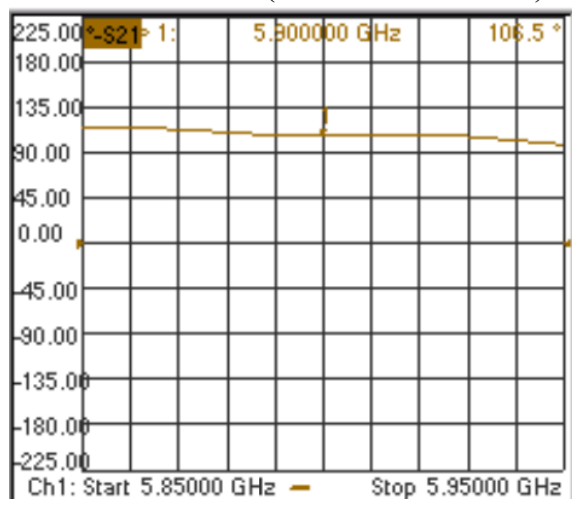




#### 000010→-11.25 度(116.3-128.7=-12.4)

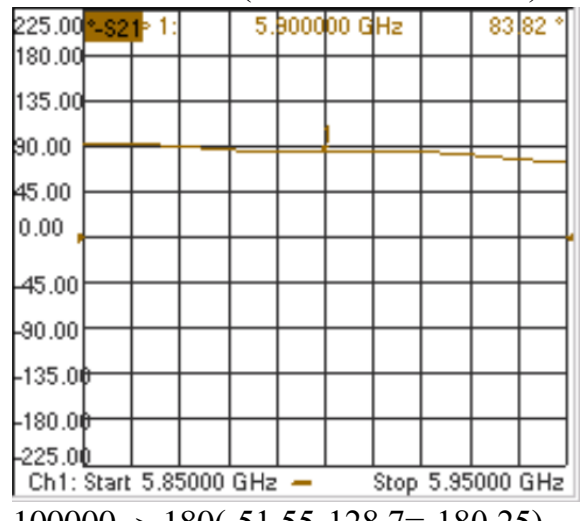
000100→-22.5 度(106.5-128.7=-22.2)

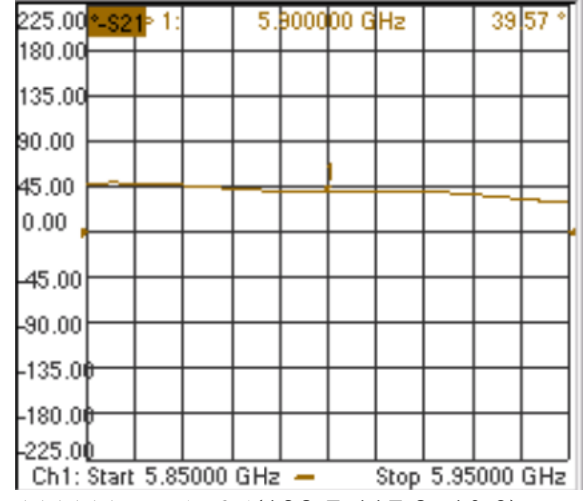




#### 001000→-45 度(106.5-128.7=-44.88)

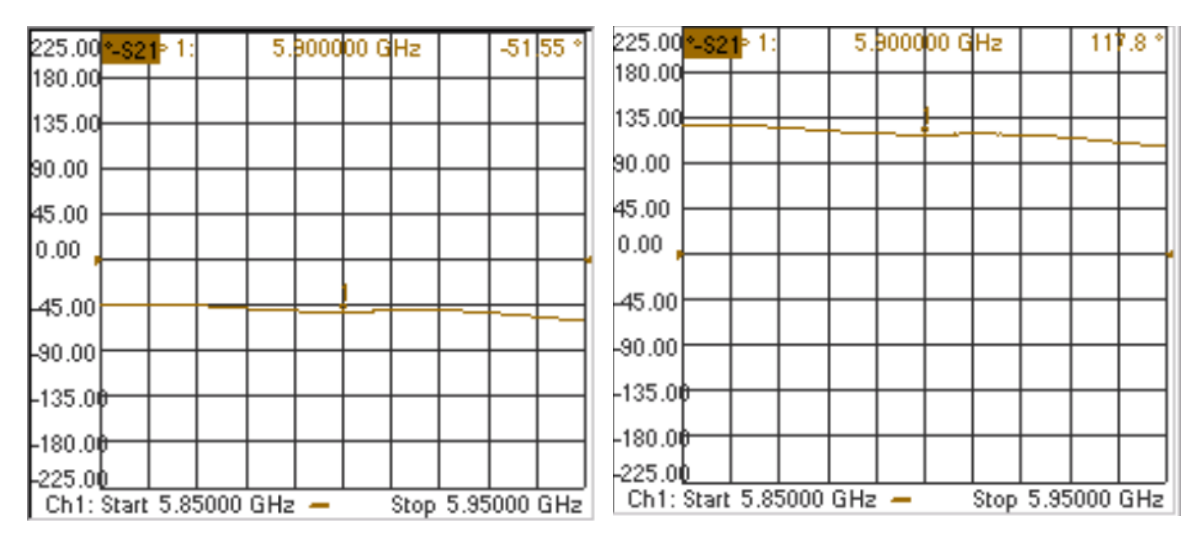
0100000→-90 度(39.57-128.7=-89.13)





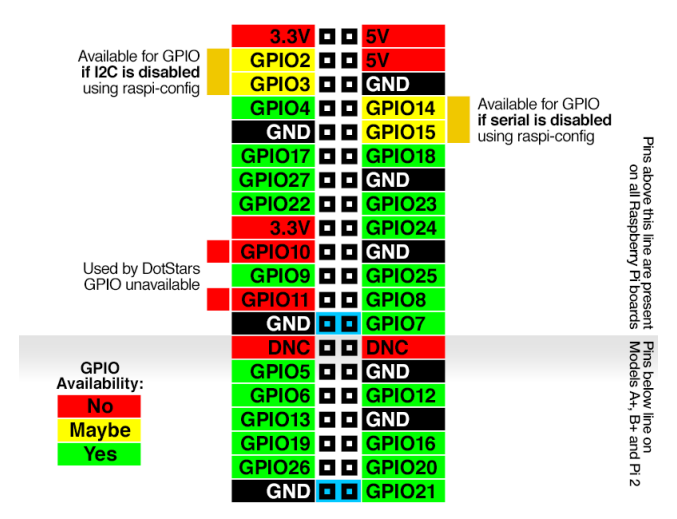
 $100000 \rightarrow -180(-51.55-128.7=-180.25)$ 

 $1111111 \rightarrow +5.625(128.7-117.8=10.9)$ 



圖十八、PORT 1 到 PORT 2 的相位延遲之量測結果。

展示系統的相位控制必須透過控制器,自動送出相對應相移角度的二位元信號。計畫中的目標是要製作一個 1×4 的相控陣列天線,若以天線 1 為相位參考點,則需要 3 個相移器針對另外三支天線的相位進行調控,來達到主波束偏轉的目的。而每一個相移器都需要 6 個位元來加以控制,3 個相移器共 18 個位元。一般的 Arduino Uno 板並沒有這麼多的 GPIO 腳為可供使用,因此本計畫採用樹莓派單板電腦來達到同時控制 3 個相移器的目的。圖十九所示為樹莓派GPIO 腳位編號及功能圖,而表一則是 GPIO 腳位與 3 個相移器控制位元間連接的規劃表。



圖十九、樹莓派 GPIO 腳位編號及功能圖

表一、GPIO 腳位與相移器控制位元規劃表

Phase s	shifter #1	GPIO
BIT6	pin #22	9
BIT5	pin #23	5
BIT4	pin #24	6
BIT3	pin #26	13
BIT2	pin #27	19
BIT1	pin #28	26

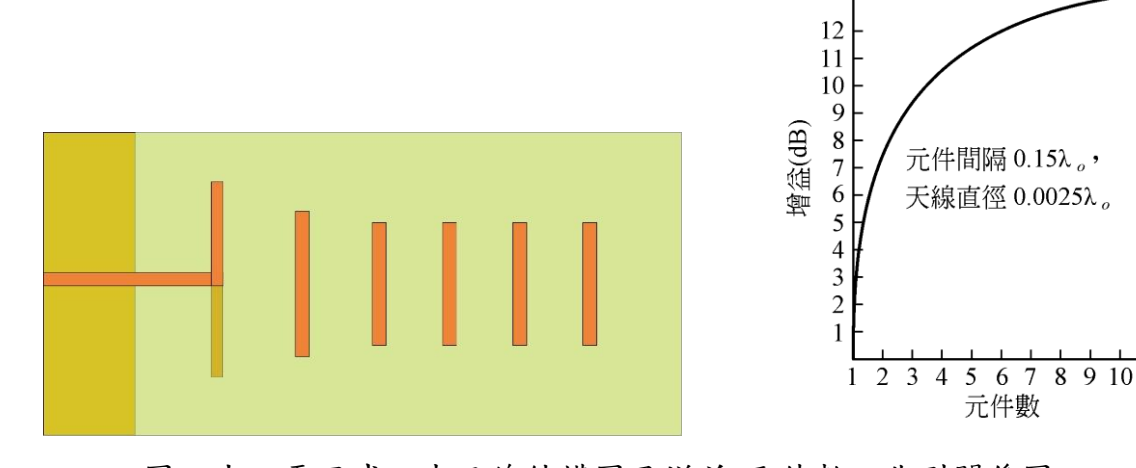
Phase	Phase shifter #2	
BIT6	pin #22	25
BIT5	pin #23	8
BIT4	pin #24	12
BIT3	pin #26	16
BIT2	pin #27	20
BIT1	pin #28	21

Phase s	Phase shifter #3	
BIT6	pin #22	18
BIT5	pin #23	17
BIT4	pin #24	27
BIT3	pin #26	22
BIT2	pin #27	23
BIT1	pin #28	24

樹莓派的 Python 程式則在附錄一中呈現。

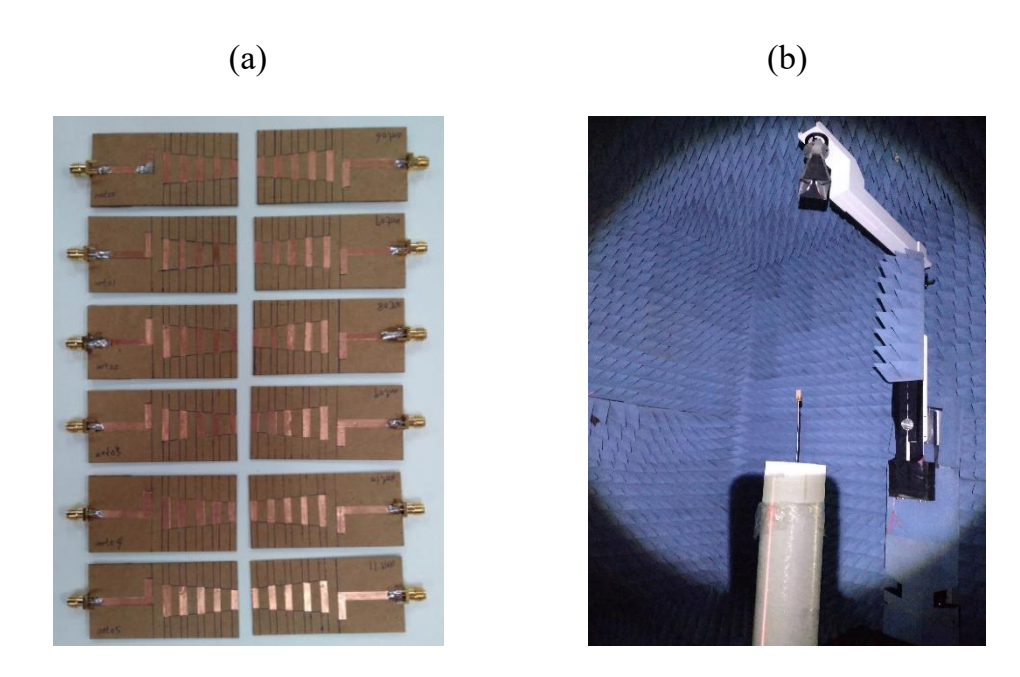
#### 2.4 天線單元與陣列天線

本計畫中採用如圖二十所示之平面式八木天線做為陣列單元。八木天線具有高指向性、低成本、構造簡單的特性。於1926年,由宇田(Uda)先生在日本Tohoku大學完成,1928年由其老師八木(Yagi)先生寫成英文論文發表,因此也有人將之稱為八木宇田天線(Yagi-Uda Antennas)。八木天線最常做為無線電視天線,其結構包括:驅動器(Driver) ,反射器(Reflector),導向器(Director),而其中只有驅動器有訊號饋入。由驅動器產生電磁場進而激發其餘元件,產生類似陣列的效果,以提高天線增益。此一作法稱為寄生陣列(Parasitic Array)。研究指出,如圖十四所示,各元件最佳距離在0.15~0.25波長之間,反射器比驅動器約長5%,而導向器則比驅動器約短5%。研究也發現,增加反射器數目對提高增益並無太大幫助;增加導向器的數目,可以有效提高天線增益。

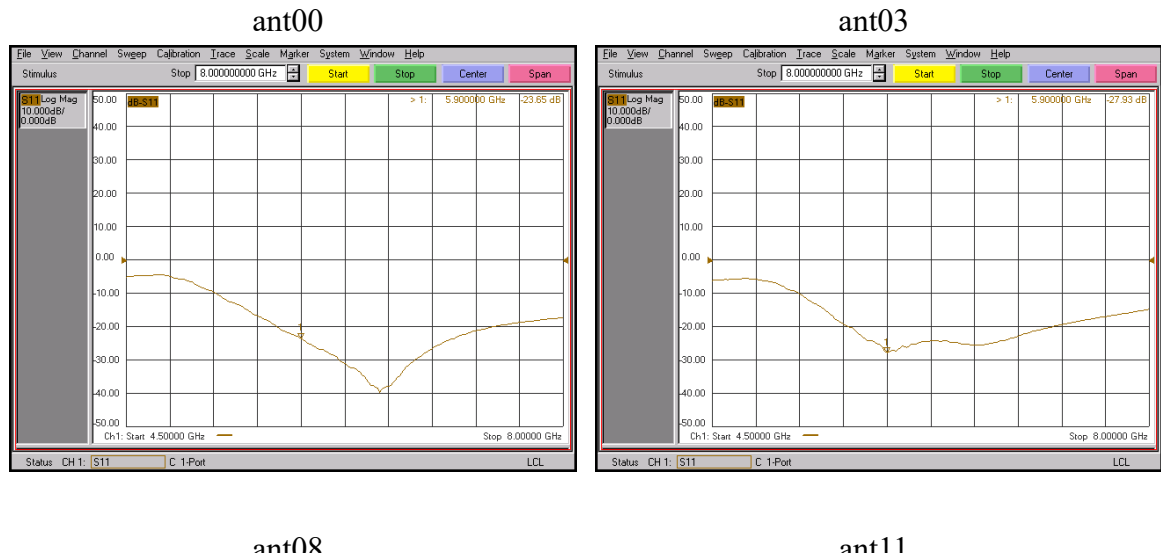


圖二十、平面式八木天線結構圖及增益-元件數之典型關係圖

圖二十一所示為實際完成之5.9 GHz之成品及場型量測圖。共製作12支成品分別編號ant00~ant11,隨機挑選ant00、ant03、ant08、ant11進行量測,其返回損失量測結果如圖二十二所示。其結果顯示,本設計之印刷式八木天線在5.9GHz操作頻率時,其S11都在-20dB以下,匹配非常完美。



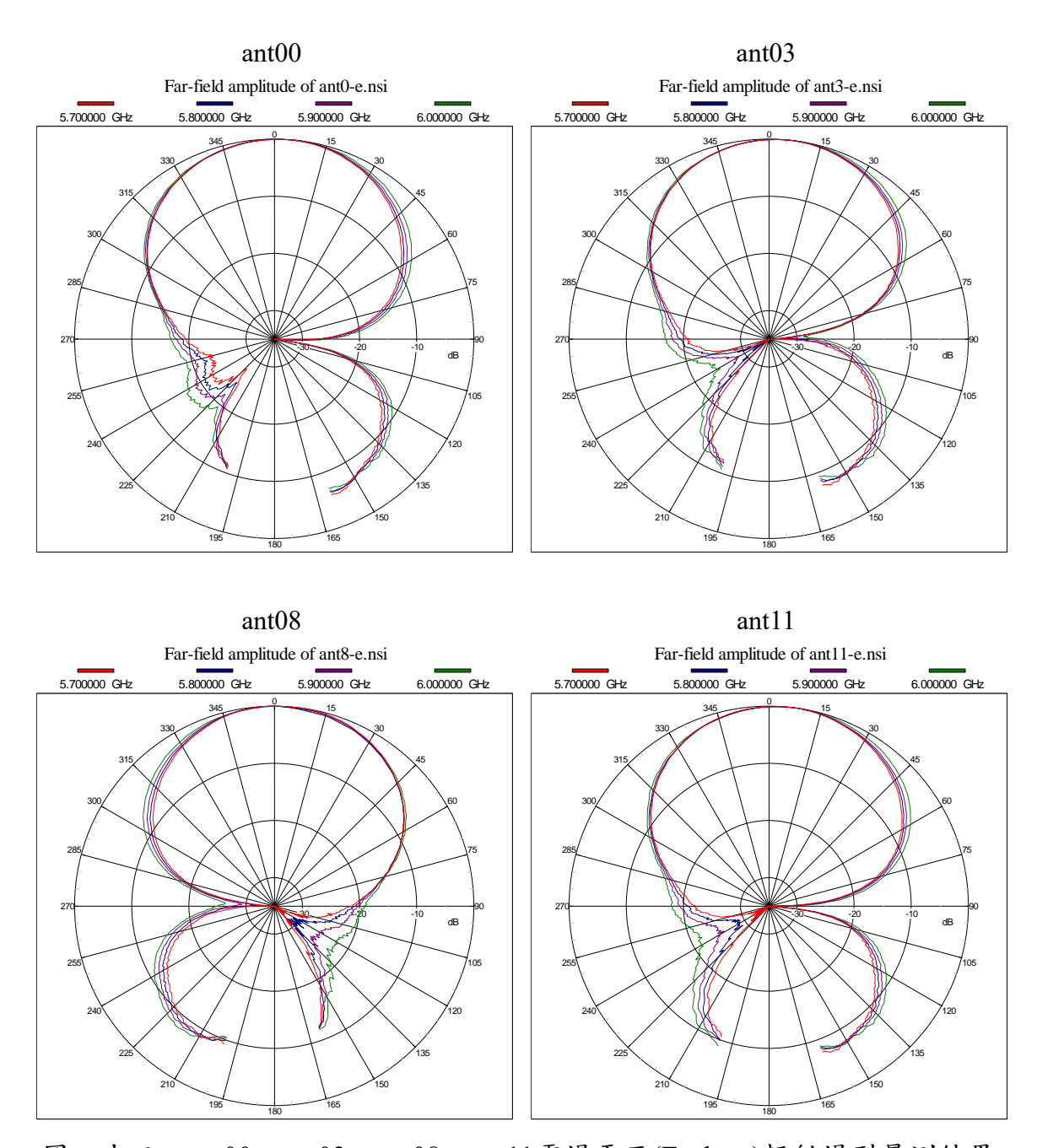
圖二十一、5.9 GHz 印刷式八木天線之成品及場型量測圖



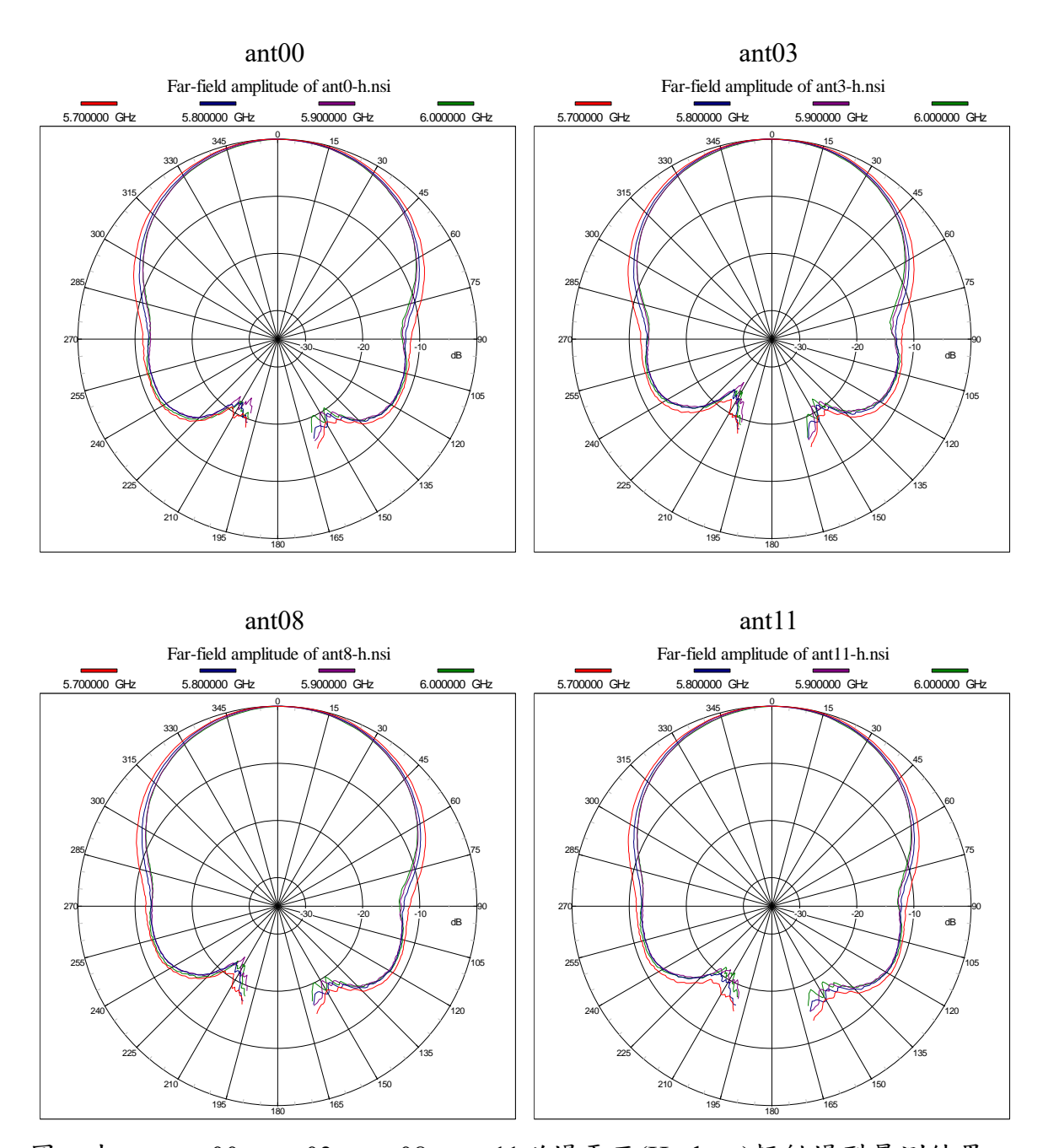


圖二十二、隨機挑選4支天線之返回損失量測結果

圖二十三所示為 ant00、ant03、ant08、ant11 電場平面(E-plane)輻射場型量測結果。圖二十四則為磁場平面(H-plane)輻射場型量測結果。由結果可以看出來,本設計之印刷式八木天線在 5.7~6.0 GHz 操作頻率下,E-plane 跟 H-plane 場型都是寬邊輻射(Broadside),其 3dB 東寬(半功率東寬 half-power beam width) 約為 75 度,適合本項教學系統的需求。



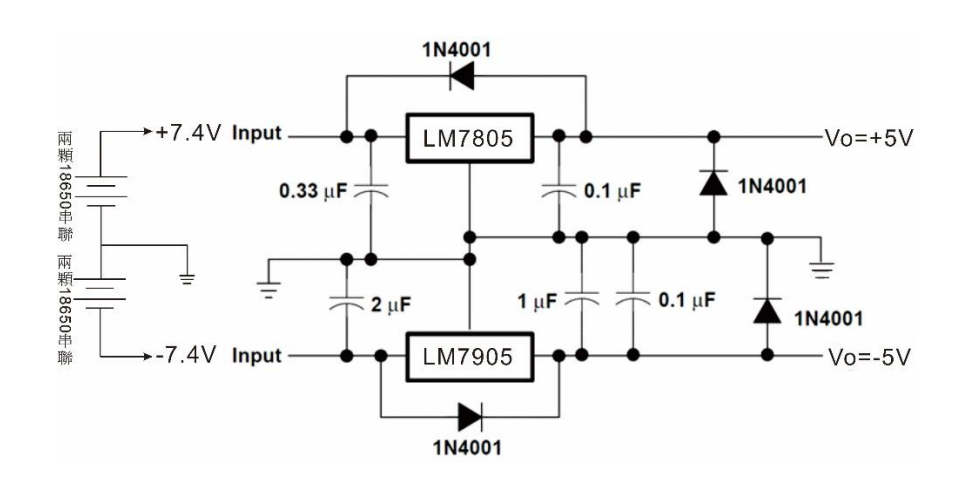
圖二十三、ant00、ant03、ant08、ant11電場平面(E-plane)輻射場型量測結果



圖二十四、ant00、ant03、ant08、ant11磁場平面(H-plane)輻射場型量測結果。

#### 2.5 電源供應電路

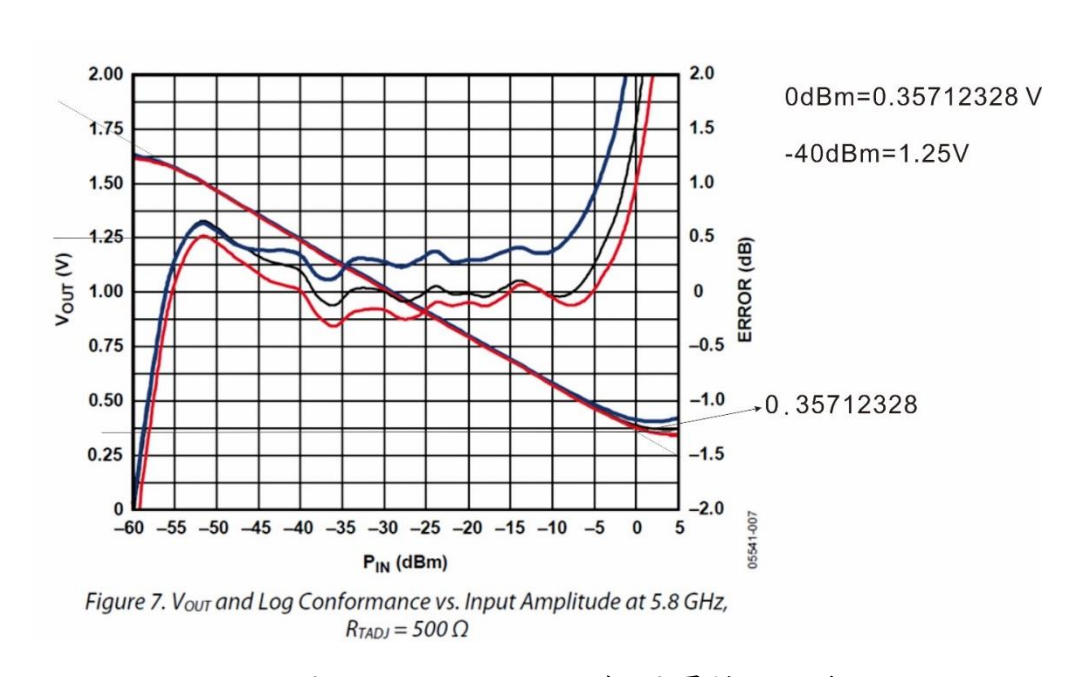
綜觀主功能板各部偏壓設計,直流電源需求為+5V、-5V等兩個電壓。因此計畫中採取四個 18650 鋰電池串聯,再以中間抽頭當作電位參考點的方式來獲得+7.4V及-7.4V。此一±7.4V的電源,輸入到由 LM7805 及 LM7905 所構成的穩壓電路,即可獲得穩定的±5V的電源供應。相關電路設計如圖二十五所示。



圖二十五、由 LM7805 及 LM7905 所構成的穩壓電路圖

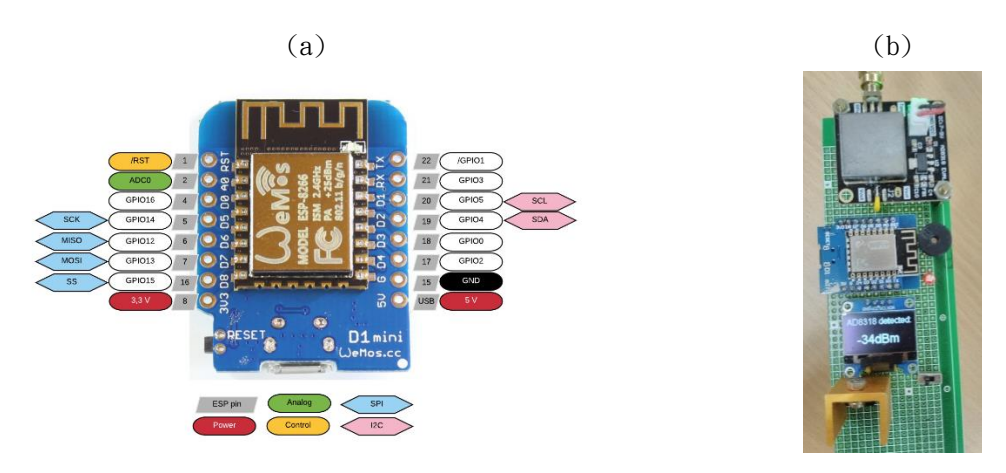
#### 2.6 接收指示器

接收指示器是一個簡單的微波檢波器,當他接收到微波功率時,將點亮LED 燈、蜂鳴器發出"嗶"聲、並在OLED螢幕上顯示接收到的訊號強度。接收指示器的檢波功能主要由亞德諾半導體生產之AD8318晶片來完成。由外接天線將接收到的電磁波功率輸入給AD8318, AD8318將輸入的功率轉換成電壓輸出。當操作在5.8 GHz時, AD8318的功率-電壓轉移曲線如圖二十六所示:輸入功率0dBm時,輸出電壓0.36V;輸入功率-40dBm時,輸出電壓1.25V。再將AD8318的輸出電壓饋入到WeMos D1 Min的開發板進行運算,即可判斷所接收到的電磁波功率是否高於臨界值。一旦高於臨界值,則可啟動點亮LED燈、蜂鳴器發出"嗶"聲、並在OLED螢幕上顯示接收到的訊號強度等動作。



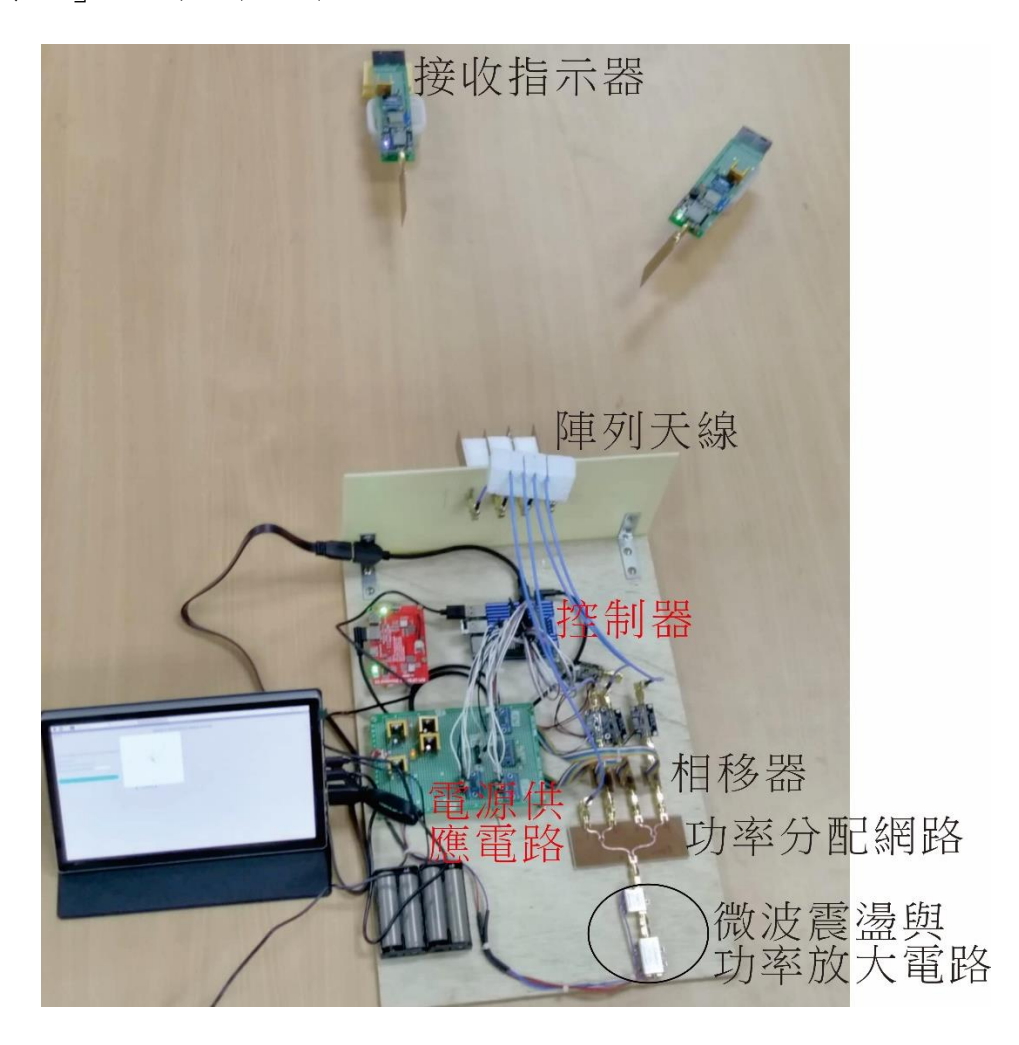
圖二十六、AD8318的功率-電壓轉移曲線

WeMos D1 Mini開發板的接腳圖如圖二十七(a)所示,AD8318感測器 OUT 連接 A0、LED 連接 D3、蜂鳴器正極 (+) 連接 D5。WeMos D1 Mini架構同 ESP-8266,因此可用Arduino IDE來開發其應用程式。將上述動作要求寫成應用程式,編譯之後上載到D1 Mini晶片內即可。完成的接收指示器如圖二十七(b) 所示,程式碼則於附錄二中呈現。



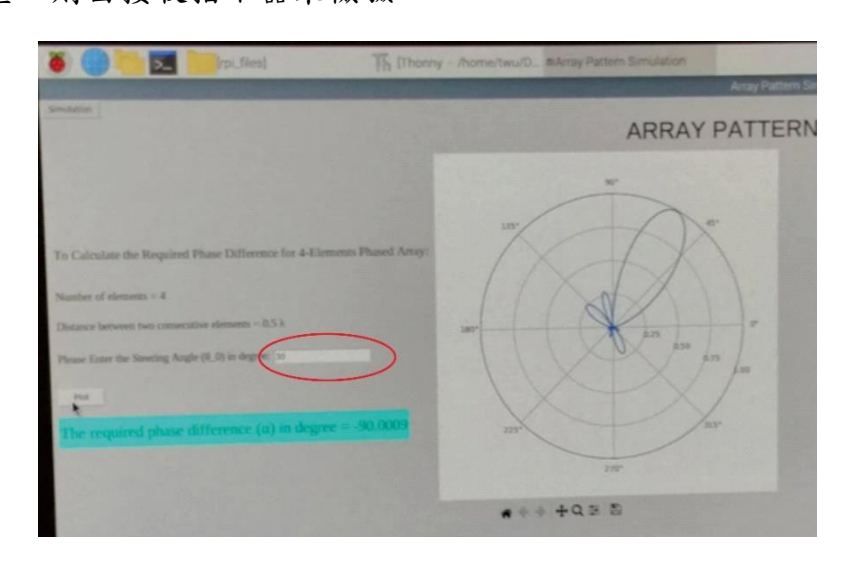
圖二十七、(a)WeMos D1 Mini 開發板接腳圖 (b)接收指示器完成圖

將上述2.1~2.6節完成的各部,依序組合成一個完整的「相控陣列天線教學展示系統」,如圖二十八所示。



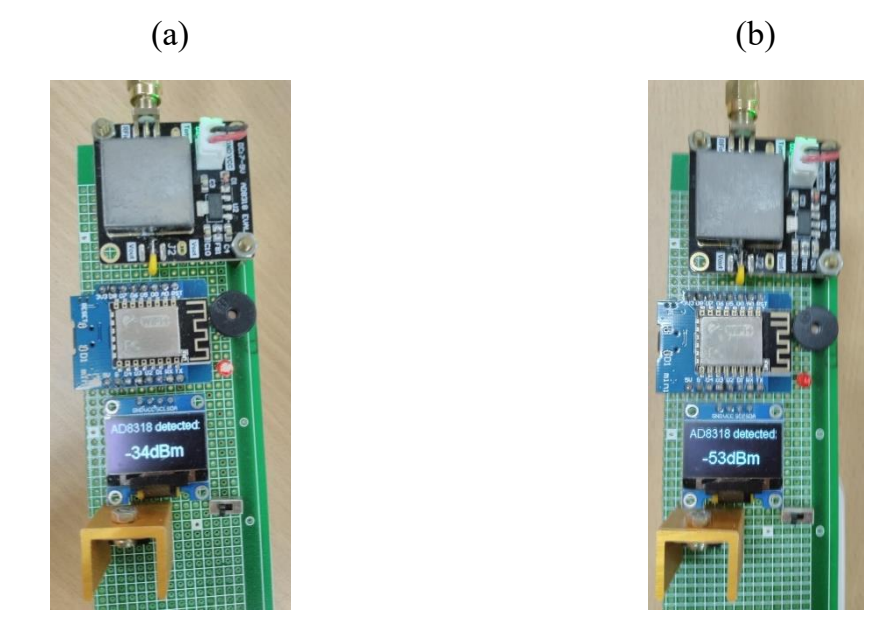
圖二十八、「相控陣列天線教學展示系統」完成圖

簡單說明此一「相控陣列天線教學展示系統」的功能如下:在樹莓派上執行附錄一的Python程式,其畫面如圖二十九所示。在紅圈處輸入希望主波束偏轉的角度(在此以30度為例),畫面右側為模擬場型圖。而輸入的偏轉角度30度經過程式計算,得到每一個相移器的相移角度之後,將之轉換為6位元的二進位控制信號。6位元的控制信號輸入至相移器的控相腳位,以得到各分量該有的相移量。經過相位移之後的各分量饋入至1×4的天線陣列輻射出去。而陣列的輻射場型,則由接收指示器來檢驗。



圖二十九、樹莓派上執行附錄一Python程式的畫面

如圖二十八所示,在與主功能板固定距離的扇形0度與30度位置上各擺放一個接收指示器,當在樹莓派的程式裡設定要求主功能板上的「相控陣列天線」主波束偏轉30度時,擺放在30度位置上的接收指示器,參見圖三十(a),會接收到足夠強的功率,進而驅動包括:點亮LED燈、蜂鳴器發出"嗶"聲、並在OLED螢幕上顯示接收到的訊號強度等動作。而擺放在0度位置上的接收指示器,參見圖三十(b),則因為接收不到足夠的功率強度,僅在OLED螢幕上顯示接收到的訊號強度,其他LED燈與蜂鳴器並不會有任何反應。如此我們相信透過本套「相控陣列天線教學展示系統」可立即得知目前主波束所偏轉的角度,可以給學生對「相控陣列天線」建立具體的觀念,能有效提昇教學成效。



圖三十、(a)擺放在30度位置上的接收指示器的反應 (b)擺放在0度位置上的接收指示器的反應

# 第三章

#### 結 論

本計畫主要在於精進本校(陸軍軍官學校)電機系「電波專題」課程。本計畫執行成效卓著,透過計畫之執行,修習本課程之學生皆能嫻熟天線設計與量測技術、微波電路設計與量測技術、雷達系統、相控陣列天線之原理與操作技術。此外,計畫內完成的「相控陣列天線教學展示系統」,可以幫助學生建立具體的「相控陣列天線」觀念,能有效提昇教學成效。經由系統化之整合與教學,達到將專業知識應用於軍事實務之教學目標。計畫執行成果包含設計原理與製作流程,國軍各教學單位若有興趣製作,計畫主持人非常樂意協助。

## 参考文獻

- [1] G.W. Stimson, H. Griffiths, C. Baker, and D. Adamy, "Introduction to Airborne Radar, 3rd Edition," SciTech Publication, 2014.
- [2] M.A. Richards, J.A. Scheer, W.A. Holm, "Principles of Modern Radar: Basic Principles," SciTech Publication, 2013.
- [3] B.R. Mahafza, "Radar Signal Analysis and Processing Using MATLAB," CRC Press, 2009.
- [4] G.L. Charvat, "The MIT IAP radar course: Build a small radar system capable of sensing range, Doppler, and synthetic aperture (SAR) imaging." IEEE Radar Conference (RADAR), 7-11 May, 2012.
- [5] G.L. Charvat, "Doppler Radar Explanation and Demo using the coffee can radar [YouTube video]," Available:

  <a href="https://www.youtube.com/watch?v=FOWopYv-JTM">https://www.youtube.com/watch?v=FOWopYv-JTM</a>, Jan. 6, 2012.
- [6] G.L. Charvat, *Small and Short-Range Radar System*. NW, USA: CRC Press, 2014.
- [7] C.A. Fowler, "Old Radar Types Never Die; They Just Phased Array, or 55 Years of Trying to Avoid Mechanical Scan," IEEE Aerosp. Electron. Syst. Mag. 13 (9), 1998, pp. 24A–24L.
- [8] G.N. Tsandoulas, "Unidimensionally Scanned Phased Arrays," IEEE Trans. Antennas Propag. 28 (1), 1980, pp. 86–99.
- [9] G.N. Tsandoulas and G.H. Knittel, "The Analysis and Design of Dual-Polarization Square-Waveguide Phased Arrays," IEEE Trans. Antennas Propag. 21 (6), 1973, pp. 796–808.

- [10] A.J. Fenn, "Theoretical and Experimental Study of Monopole Phased Array Antennas," IEEE Trans. Antennas Propag. 34(10), 1985, pp. 1118–1126.
- [11] G.H. Knittel, "Relation of Radar Range Resolution and Signal-to-Noise Ratio to Phased-Array Bandwidth," IEEE Trans. Antennas Propag. 22 (3), 1974, pp. 418–426.
- [12] E. Stern and D.H. Temme, "Magnetostriction Effects in Remanence Phase Shifters," IEEE Trans. Microw. Theory Tech. 13(6), 1965, pp. 873–874.
- [13] H.M. Aumann, A.J. Fenn, and F.G. Willwerth, "Phased Array Antenna Calibration and Pattern Prediction Using Mutual Coupling Measurements," IEEE Trans. Antennas Propag. 37(7), 1989, pp. 844–850.
- [14] E. J. Wilkinson, "An N-Way Hybrid Power Divider," IRE Trans. Microwave Theory and Techniques, vol. 8, no. 1, pp.116-118, January 1960.

# 附 錄 一

# 樹莓派控制器之 Python 程式

```
import tkinter as tk
from tkinter import Tk
import matplotlib.pyplot as plt
from matplotlib.backends.backend_tkagg import (FigureCanvasTkAgg, NavigationToolbar2Tk)
from matplotlib.backend_bases import key_press_handler
from matplotlib.figure import Figure
import numpy as np
import RPi.GPIO as GPIO
import time
GPIO.setmode(GPIO.BCM)
GPIO.setwarnings(False)
######phase shifter #1 bit1--> 26, bit2-->19, bit3-->13, bit4-->6, bit5-->5, bit6-->9 ########
ps1b1 = 26
ps1b2 = 19
ps1b3 = 13
ps1b4 = 6
ps1b5 = 5
ps1b6 = 9
GPIO.setup(ps1b1, GPIO.OUT)
GPIO.setup(ps1b2, GPIO.OUT)
GPIO.setup(ps1b3, GPIO.OUT)
GPIO.setup(ps1b4, GPIO.OUT)
GPIO.setup(ps1b5, GPIO.OUT)
GPIO.setup(ps1b6, GPIO.OUT)
#####phase shifter #2 bit1--> 21, bit2-->20, bit3-->16, bit4-->12, bit5-->8, bit6-->25 #########
ps2b1 = 21
ps2b2 = 20
ps2b3 = 16
ps2b4 = 12
ps2b5 = 8
ps2b6 = 25
GPIO.setup(ps2b1, GPIO.OUT)
GPIO.setup(ps2b2, GPIO.OUT)
GPIO.setup(ps2b3, GPIO.OUT)
GPIO.setup(ps2b4, GPIO.OUT)
GPIO.setup(ps2b5, GPIO.OUT)
GPIO.setup(ps2b6, GPIO.OUT)
######phase shifter #3 bit1--> 24, bit2-->23, bit3-->22, bit4-->27, bit5-->17, bit6-->18 #########
ps3b1 = 24
ps3b2 = 23
ps3b3 = 22
ps3b4 = 27
ps3b5 = 17
ps3b6 = 18
GPIO.setup(ps3b1, GPIO.OUT)
GPIO.setup(ps3b2, GPIO.OUT)
GPIO.setup(ps3b3, GPIO.OUT)
GPIO.setup(ps3b4, GPIO.OUT)
GPIO.setup(ps3b5, GPIO.OUT)
GPIO.setup(ps3b6, GPIO.OUT)
```

```
class Page(tk.Frame):
    def __init__(self, *args, **kwargs):
        tk.Frame.__init__(self, *args, **kwargs)
    def show(self):
        self.lift()
class Page4(Page):
   def __init__(self, *args, **kwargs):
       Page.__init__(self, *args, **kwargs)
       lbl = tk.Label(self, text="ARRAY PATTERN SIMULATION", font=("Arial", 30))
       lbl.pack(side=tk.TOP)
       Enter = tk.Label(self, text="To Calculate the Required Phase Difference for 4-Elements Phased Array:", font=("Times
New Roman", 16))
       Enter.place(height=50, x=10, y=200)
       Enter = tk.Label(self, text="Number of elements = 4", font=("Times New Roman", 14))
       Enter.place(height=50, x=10, y=270)
       Enter =tk.Label(self, text="Distance between two consecutive elements = 0.5 \u03BB ", font=("Times New Roman",
14))
       Enter.place(height=50, x=10, y=320)
##### modified by TWU, enter the steering angle to calculated the phase difference
       Theta0 = tk.Label(self, text="Please Enter the Steering Angle (\u03B8_0) in degree:", font=("Times New Roman", 14))
       Theta0.place(height=50, x=10, y=375)
       Theta0B = tk.Entry(self, width=20)
       Theta0B.place(height=25, x=370, y=390)
       pi = np.pi
       efactor= np.loadtxt('ef.txt')
       def get_bit_val(byte, index):
           if byte & (1<< index):
               return 1
           else:
               return 0
       def clicked():
           n = 4
           d = 0.5
           Theta0 = float(Theta0B.get())*np.pi/180
           alpha=-2*pi*d*np.sin(Theta0)
           alphad=alpha*180/np.pi
           Alpha = tk.Label(self, bg='cyan', fg='black', text="The required phase difference (\u03B1) in degree =
{:.3f}".format(alphad), font=("Times New Roman", 20))
           Alpha.place(height=50, x=10, y=500)
alpha_d = abs(alphad) % 360
           print(alphad)
           print(alpha_d)
```

```
if alphad < 0:
               multi = round(alpha_d/5.625)
               ps_bits="{0:b}".format(round(multi))
               print(-int(ps_bits, 2)*5.625)
           else:
               multi = round((360-alpha_d)/5.625)
               ps_bits="{0:b}".format(multi)
               print(-int(ps_bits, 2)*5.625)
           GPIO.output(ps1b6, get_bit_val(multi, 5))
           GPIO.output(ps1b5, get_bit_val(multi, 4))
           GPIO.output(ps1b4, get_bit_val(multi, 3))
           GPIO.output(ps1b3, get_bit_val(multi, 2))
           GPIO.output(ps1b2, get_bit_val(multi, 1))
           GPIO.output(ps1b1, get_bit_val(multi, 0))
alpha_d = abs(2*alphad) % 360
           print(alpha_d)
           if alphad < 0:
               multi = round(alpha_d/5.625)
               ps_bits="{0:b}".format(round(multi))
               print(-int(ps_bits, 2)*5.625)
           else:
               multi = round((360-alpha_d)/5.625)
               ps bits="{0:b}".format(multi)
               print(-int(ps_bits, 2)*5.625)
           GPIO.output(ps2b6, get_bit_val(multi, 5))
           GPIO.output(ps2b5, get_bit_val(multi, 4))
           GPIO.output(ps2b4, get_bit_val(multi, 3))
           GPIO.output(ps2b3, get_bit_val(multi, 2))
           GPIO.output(ps2b2, get_bit_val(multi, 1))
           GPIO.output(ps2b1, get_bit_val(multi, 0))
alpha d = abs(3*alphad) % 360
           print(alpha_d)
           if alphad < 0:
               multi = round(alpha_d/5.625)
               ps_bits="{0:b}".format(round(multi))
               print(-int(ps_bits, 2)*5.625)
           else:
               multi = round((360-alpha_d)/5.625)
               ps_bits="{0:b}".format(multi)
               print(-int(ps_bits, 2)*5.625)
           GPIO.output(ps3b6, get_bit_val(multi, 5))
           GPIO.output(ps3b5, get_bit_val(multi, 4))
           GPIO.output(ps3b4, get_bit_val(multi, 3))
           GPIO.output(ps3b3, get_bit_val(multi, 2))
           GPIO.output(ps3b2, get_bit_val(multi, 1))
           GPIO.output(ps3b1, get_bit_val(multi, 0))
           print('******GOOD JOB !!!********)
```

```
phi = np.arange(0, 2 * np.pi, .01)
            cos_phi = np.cos(np.array(phi))
            psi = (2 * pi * d * np.array(cos_phi)) + alpha
            E = (1 / n) * (np.sin(n * np.array(psi) / 2)) / np.sin(np.array(psi) / 2)*efactor
            fig = Figure(figsize=(6, 6), dpi=100)
            a = fig.add_subplot(111, projection='polar')
            a.plot(phi,abs(E))
            a.set_rmax(1)
            a.set_rticks([0.25, 0.5, 0.75, 1]) # less radial ticks
            a.set_rlabel_position(-22.5) # get radial labels away from plotted line
            a.grid(True)
            canvas = FigureCanvasTkAgg(fig, master=self) # A tk.DrawingArea.
            canvas.draw()
            canvas.get_tk_widget().place(x=650, y=60)
            toolbar = NavigationToolbar2Tk(canvas, self)
            toolbar.update()
            toolbar.place(x=750, y=663)
            def on_key_press(event):
                 print("you pressed {}".format(event.key))
                 key_press_handler(event, canvas, toolbar)
            canvas.mpl_connect("key_press_event", on_key_press)
        Plot = tk.Button(self, text=" Plot
                                           ", command=clicked)
        Plot.place(height=30, x=10, y=450)
class MainView(tk.Frame):
    def __init__(self, *args, **kwargs):
         tk.Frame.__init__(self, *args, **kwargs)
         p4 = Page4(self)
         buttonframe = tk.Frame(self)
         container = tk.Frame(self)
         buttonframe.pack(side="top", fill="x", expand=False)
         container.pack(side="top", fill="both", expand=True)
         p4.place(in_=container, x=0, y=0, relwidth=1, relheight=1)
         b4 = tk.Button(buttonframe, text="Simulation", command=p4.lift)
         b4.pack(side="left")
         p4.show()
if __name__ == "__main__":
    root: Tk = tk.Tk()
    main = MainView(root)
    main.pack(side="top", fill="both", expand=True)
    root.wm_title("Array Pattern Simulation")
    root.wm_geometry('1300x700')
    root.mainloop()
```

# 附錄二

# 接收指示器之Arduino程式

```
The AD8318 is a demodulating logarithmic amplifier, capable of
  accurately converting an RF input signal to a corresponding
  decibel-scaled output voltage.
#include <pitches.h>
#include <Wire.h>
#include "SSD1306Wire.h"
#define AD8318Sensor A0
                                    // AD8318 感測器 OUT 連接 A0
#define ledPin D3
                                 // LED 連接 D3
#define buzzer D5
                                 // 蜂鳴器正極 (+) 連接 D5
int vmin_i = 1023;
                              // AD8318 感測器訊號變數初始值
int nloop = 1000;
int vdet;
long vdet2dbm;
SSD1306Wire display(0x3c, D2, D1);
void setup() {
  pinMode(AD8318Sensor, INPUT);
  pinMode(ledPin, OUTPUT);
  pinMode(buzzer, OUTPUT);
  Serial.begin(115200);
  Serial.println();
  Serial.println();
  // Initialising the UI will init the display too.
  display.init();
  display.flipScreenVertically();
}
void detect(){
              vmin_i = 1023;
             //
                for (int iloop = 1; iloop <= nloop; iloop++) {
                vdet = analogRead(AD8318Sensor);
                if (vdet < vmin_i) {</pre>
                   vmin_i=vdet;
                //delayMicroseconds(14);
                }
}
void loop(){
                       //讀取 AD8318 感測器訊號
  vdet2dbm=(vmin_i-204)*(-0.12);
  display.clear();
```

```
Serial.println(vmin_i);
                                           //將訊號值印在序列埠螢幕上
  display.setFont(AriaIMT_Plain_16);
  display.drawString(0, 0, "AD8318 detected:");
  display.setFont(AriaIMT_Plain_24);
  display.drawString(20, 30, String(vdet2dbm) + "dBm");
  delayMicroseconds(1000);
  display.display();
                                                    //判斷 Vmin 的狀態
  if (vmin_i <= 411) {
                                           //如果 Vmin 低於臨界值則啟動動作+
    digitalWrite(ledPin, HIGH);
    tone(buzzer, NOTE_C5);
    delay(200);
  vmin_i = 1023;
  digitalWrite(ledPin, LOW);
  tone(buzzer, 0);
}
```